

## فصل هفتم: اصول تحلیل و طراحی

۹ - ۱۰ - گستره

**۹-۱-۱-۱** ضوابط این فصل شامل اصول کلی هستند که در تحلیل و طراحی سازه ساختمان‌های بتنی باید رعایت شوند. این اصول شامل: روش طراحی، بارگذاری و ترکیبات آنها، ضرایب ایمنی و ضوابط کلی مورد استفاده در طراحی اجزا می‌باشد.

۹ - ۱۰ - ۲ - اهداف طراحی

هدف از طراحی سازه، تعیین سیستم سازه، ابعاد و مشخصات اعضای آن به نحوی است که شرایط زیر تأمین گردد.

۹ - ۱۰ - ۲ - ۱ - ایمنی

منظور از اینمنی آن است که طراحی سیستم، اجزاء و اتصالات آن طوری باشد که سازه، پایداری و انسجام خود را حفظ نماید و ضمن حفظ شرایط اقتصادی، تحت اثر بارها و سربارهای متعارف آسیب ندیده و تحتبارها و سربارهای استثنایی گسیخته نشود.

۹ - ۱۰ - ۲ - ۲ - بهره‌برداری مناسب

منظور از تأمین شرایط بهره‌برداری مناسب این است که:

- تغییرشکل و ترک خوردگی بیش از حد ایجاد نشود.

- تحت شرایط مختلف محیطی، کیفیت مصالح مصرفی و قابلیت بهره‌برداری در اثر فرسودگی و خوردگی در طول عمر پیش‌بینی شده تأمین شود.

## ۹ - ۱۰ - ۳ روش طراحی

در این مبحث روش طراحی براساس حالت‌های حدی است. حالت‌های حدی به شرایطی اطلاق می‌شوند که اگر تمام یا بخشی از اعضای سازه به هر یک از آن حالت‌ها برسند قادر به انجام وظایف خود نباشد و از حیز انتفاع خارج می‌شوند. لذا با انتخاب ضرایب ایمنی مناسب، سازه باید طوری طرح شود که تحت شرایط بارگذاری محتمل به همچ یک از حالت‌های حدی نرسد. حالت‌های حدی به دو بخش اصلی به شرح بندهای زیر تقسیم‌بندی می‌شوند.

### ۹ - ۱۰ - ۳ - ۱ حالت‌های حدی نهایی

این حالت‌ها در ارتباط با ظرفیت باربری حداقل سازه تعریف شده که گذر از آن‌ها باعث ناپایداری بخش یا تمام اجزای سازه می‌شود. این حالت‌ها ممکن است در یکی از شرایط محتمل زیر مطرح شوند:

- از بین رفتن تعادل استاتیکی تمام یا قسمتی از سازه
- حصول شرایط گسیختگی یا تغییرشکل‌های بیش از حد (حد مقاومت مصالح) و یا تبدیل تمام یا بخشی از سازه به مکانیزم
- از دست رفتن پایداری تمام یا بخشی از سازه

### ۹ - ۱۰ - ۳ - ۲ حالت‌های حدی بهره‌برداری

این حالت‌ها به شرایط بهره‌برداری یا پایایی سازه مرتبط شده و گذر از آنها قابلیت بهره‌برداری مناسب از بنا را از بین می‌برد و غالباً به یکی از اشکال زیر اتفاق می‌افتد:

- تغییرشکل بیش از حد اجزای سقف به نحوی که بر عملکرد مطلوب سازه اثر نامناسب گذاشته و یا باعث آسیب به تیغه‌ها و اجزای متکی بر سقف شود.
- ترک‌خوردگی بیش از حد و خصوصاً باز شدن ترک‌ها به طوری که ضمن ایجاد شرایط ظاهری نامناسب، خطرخوردگی میلگردهای فلزی را افزایش دهد.
- لرزش بیش از حد سازه تحت اثر بارهای بهره‌برداری، ماشین‌آلات و یا وسائل متحرک در این حالت لازم است میزان تغییرشکل و ترک‌خوردگی اعضای سازه تحت اثر بارهای بهره‌برداری همواره کمتر از مقادیر حدی مشخص شده در این مبحث باشد.

## ۹ - ۱۰ - ۴ ضرایب ایمنی

در این مبحث دو مجموعه ضرایب ایمنی جزیی به شرح (الف) و (ب) این بند تعریف می‌شوند:

الف) اولین مجموعه ضرایب ایمنی برای تشديد بارها است که با  $\gamma_f$  نشان داده شده و مقدار آنها بستگی به میزان عدم اطمینان در برآورد مقدار بارها دارد.

ب) دومین مجموعه ضرایب ایمنی برای تقلیل مقاومت مصالح است که با  $\phi_m$  نشان داده شده و مقدار آنها بستگی به عدم اطمینان موجود در کیفیت مصالح، نحوه اجرا و دقت مشخصات هندسی اجزای باربر دارد.

ضریب ایمنی جزیی مقاومت بتن در قطعات درجا

ضریب ایمنی جزیی مقاومت بتن در قطعات پیش ساخته

ضریب ایمنی جزیی مقاومت فولاد

## ۹ - ۱۰ - ۷ مشخصات مصالح

۹ - ۱۰ - ۷ - ۱ در تحلیل خطی مقدار  $E_c$  در بتن معمولی با وزن مخصوص ۲۳ تا ۲۵ کیلونیوتون بر مترمکعب و مقاومت فشاری مشخصه  $40 \text{ MPa}$  تا  $60 \text{ MPa}$  می‌توان از رابطه (۹ - ۱۰ - ۱) استفاده نمود.

$$E_c = 5000 \sqrt{f_c} \quad (9 - 10 - 9)$$

**۹ - ۱۰ - ۷ - ۲** در تحلیل خطی مقدار  $E_s$  برابر با  $200000$  مگاپاسکال منظور می‌شود.

**۹ - ۱۰ - ۷ - ۳** ضریب انبساط حرارتی بتن معادل  $C = 10^{-5} \text{ } 10^{\circ}$  در نظر گرفته می‌شود.

**۹ - ۱۰ - ۷ - ۴** ضریب پواسون بتن و فولاد را می‌توان به ترتیب برابر با  $0.15$  و  $0.3$  در نظر گرفت.

**۹ - ۱۰ - ۷ - ۵** فقط بتن‌های رده  $C20$  و بالاتر را می‌توان به عنوان مبنای طراحی در نظر گرفت.

**۹ - ۱۰ - ۷ - ۶** برای بتن با رده بالاتر از  $C50$  باید علاوه بر مقررات این مبحث ضوابط ویژه دیگری نیز منظور شود.

**۹ - ۱۰ - ۷ - ۷** رده میلگردهای به کار برده در قاب‌ها و اجزای لبه‌ای دیوارهای مقاوم در برابر زلزله و همچنین فولادهای دورپیچ ستون‌ها و فولادهای عرضی پیچشی و برشی و برش اصطکاکی نباید بالاتر از رده  $S400$  باشد.

**۹ - ۱۰ - ۷ - ۸** استفاده از میلگردهای ساده به عنوان میلگرد سازه‌ای فقط در دور پیچ‌ها مجاز می‌باشد.

## ۹ - ۱۰ - ۹ بارگذاری

۹ - ۱۰ - ۹ - ۱ بارهای مؤثر در طراحی سازه‌ها شامل موارد زیر می‌باشند:

- الف) بارهای دائمی، شامل وزن اجزاء سازه یا عوامل متکی بر آنها
- ب) سربارهای بهره‌برداری (زنده) و همچنین سربارهای حین ساخت، ناشی از وزن قالب و داربست بستن یک طبقه روی طبقه یا طبقات زیر
- پ) بارهای جوی، مانند باد و برف
- ت) بارهای استثنائی، مانند زلزله، حریق و برخورد وسایل نقلیه به ستون‌ها و پایه‌ها
- ث) بارهای حرارتی، جمع‌شدگی و وارفتگی بتن و نشت تکیه‌گاهی

۹ - ۱۰ - ۹ - ۲ مشخصات و میزان بارهای وارد بر سازه براساس مبحث ششم مقررات ملی ساختمان تعیین می‌شوند.

۹ - ۱۰ - ۹ - ۳ بارهای وارد با توجه به احتمال همزمان بودن با یکدیگر ترکیب شده و در طراحی هر عضو نامساعدترین وضعیت‌های احتمالی بارگذاری به کار گرفته می‌شوند.

## ۹ - ۱۰ - ۱۰ طراحی در حالت حدی نهایی مقاومت

کلیه اجزای سازه‌ای باید در حالت حدی نهایی مقاومت محاسبه شود و در هر مقطع باید رابطه عمومی زیر همواره برقرار باشد.

$$S_r \geq S_u$$

در این رابطه  $S_u$  نیروی داخلی ایجاد شده در مقطع و  $S_r$  نیروی مقاوم عضو در مقطع مورد نظر است.

### ۱-۳-۲- نیروهای داخلی ایجاد شده در اعضا. ( $S_{II}$ )

نیروهای داخلی تحت اثر ترکیبات بارگذاری زیر در اعضا ایجاد می‌شوند و شامل نیروهای محوری، برشی و لنگرهای خمی و پیچشی می‌باشند.

جدول ۱-۱- ترکیبات مختلف بارگذاری

ترکیب بار	شرایط	ترکیب بار مینا
$1/25D + 1/5L$		
$D + 1/2L + 1/2E$ $+ 1/85D + 1/2E$		ترکیب بارهای مرده، زنده و زلزله
$1/25D + 1/5L + 1/5H$ $+ 1/85D + 1/5H$	ترکیب بارهای مرده، زنده و فشار خاک یا فشار آب زیرزمینی	
$D + 1/2L + T$ $1/25D + 1/5T$	ترکیب بارهای مرده، زنده و آثار حرارتی، جمع‌شدگی و وارفتگی بتن و نشت تکیه‌گاهها	

$L$  : بار زنده

$D$  : بار مرده

$F$  : فشار ناشی از وزن مابعات

$E$  : بار زلزله

$W$  : بار باد

$H$  : فشار خاک

$T$  : آثار تجمعی حرارت، وارفتگی و جمع‌شدگی بتن یا نشت تکیه‌گاهها

### تذکر:

(۱) در شرایطی که اثر بار زنده در هر یک از ترکیبات بارگذاری کاهش دهنده باشد، اثر آن در نظر گرفته نمی‌شود.

(۲) در مواردی که اثر باد قابل ملاحظه است، مقدار بار باد با بار ناشی از زلزله جایگزین می‌شود.

(۳) در مورد فشار مابعات در صورتی که وزن مخصوص مایع مشخص و حداقل ارتفاع آن نیز قابل کنترل باشد،

مقدار  $H$  با  $F$  جایگزین شده و در ترکیب بار چهارم و پنجم، ضریب  $1/5$  با  $1/25$  جایگزین می‌شود.

## ۹ - ۱۰ - ۱۱ - کنترل در حالت حدی بهره‌برداری

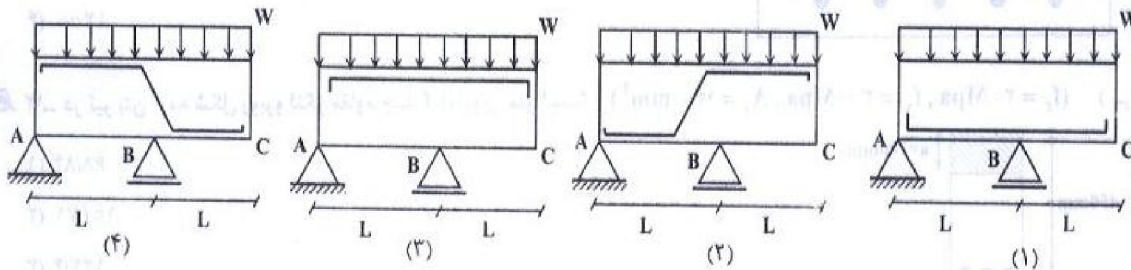
کنترل اعضا مختلف سازه‌ای در دو حالت حدی تغییر شکل و ترک خوردگی، براساس مطالب مندرج در فصل چهاردهم تحت اثر ترکیبات بار حالت حدی بهره‌برداری انجام می‌شود.

در محاسبات حالت حدی بهره‌برداری، ضرایب ایمنی جزیی بارها  $\gamma_f$  و مقامت  $\phi_m$  برابر واحد در نظر گرفته می‌شود.

## فصل هشتم : خمس

(سراسری ۸۹)

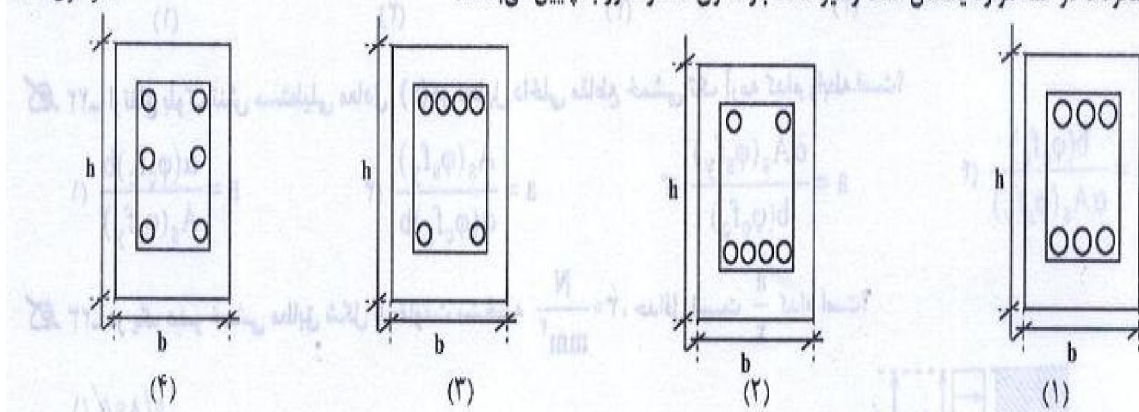
کدام یک از تیرها، میلگردگذاری به صورت صحیح انجام شده است؟



کدام یک از مقاطع، برای یک تیر کنسول بتنی در محل اتصال به ستون با توجه به نحوه میلگرد گذاری نشان داده شده مناسب‌تر است؟ (ابعاد

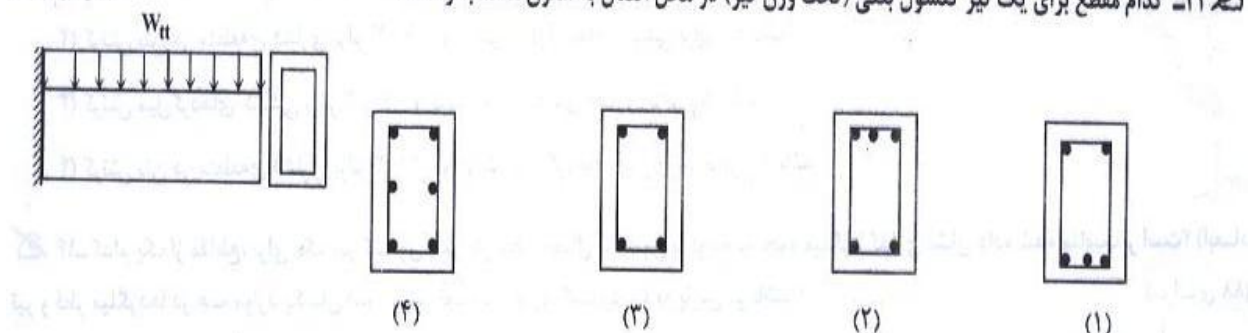
(سراسری ۸۸)

تیر و قطر میلگردها در همه موارد یکسان است و تیر تحت بارگذاری گسترده رو به پایین می‌باشد.)



(سراسری ۸۹)

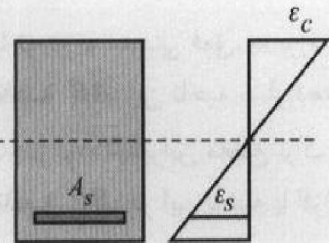
کدام مقطع برای یک تیر کنسول بتنی (تحت وزن تیر) در محل اتصال به ستون مناسب‌تر است؟



## ۱-۲- فرضیات خمش در مقاطع بتنی

فرضیات اساسی مورد استفاده در بررسی رفتار مقاطع بتنی تحت خمش خالص به شرح زیر هستند:

### ۱) اصل برنولی



مطابق این اصل، صفحات مسطح عمود بر محور طولی عضو، پس از تغییرشکل خمشی به صورت مسطح باقی می‌مانند. بنابراین

مطابق این اصل، توزیع کرنش در مقطع به صورت خطی در نظر گرفته می‌شود. نمودار توزیع کرنش در یک مقطع فرضی در شکل روپرتو نشان داده شده است.

### ۲) توزیع تنش بر اساس کرنش

بر اساس این اصل، توزیع تنش در بتن و فولاد، متناسب با کرنش ایجاد شده در هر یک بوده و از روی نمودارهای تنش و کرنش آنها به دست می‌آید. بنابراین طبق این اصل با مشخص بودن مقدار کرنش در هر نقطه، می‌توان مقدار تنش را در آن نقطه مشخص نمود.

### ۳) پیوستگی بین فولاد و بتن

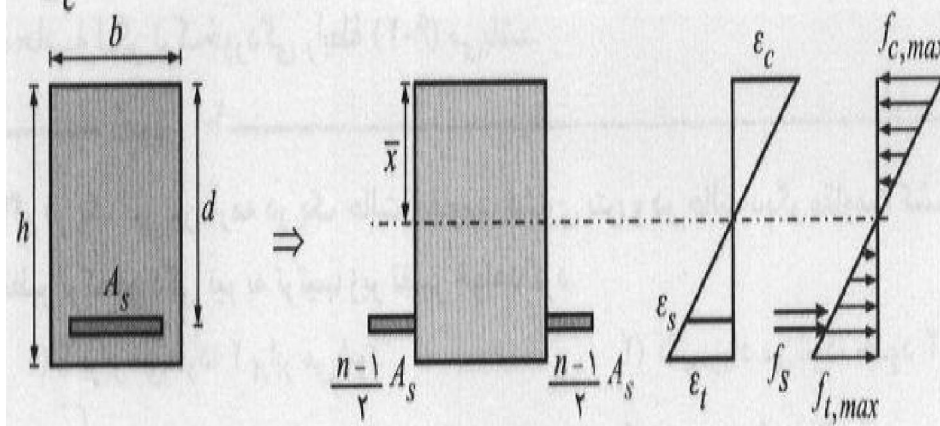
مطابق این اصل، پیوستگی کامل بین بتن و فولاد در نظر گرفته شده، به طوری که هیچ لغزشی بین آنها رخ نمی‌دهد. بنابراین با توجه به این اصل، کرنش فولاد و بتن مجاور آن یکسان در نظر گرفته می‌شود.

## ۲-۱- بررسی رفتار تیر در ناحیه الاستیک

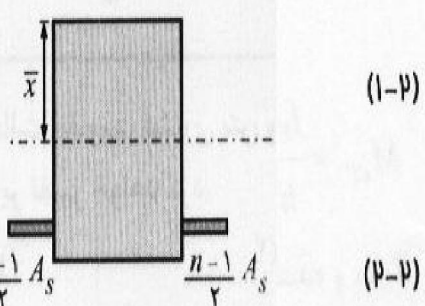
در این ناحیه با توجه به خطی بودن رفتار بتن و فولاد، تحلیل مقطع با استفاده از روابط مقاومت مصالح صورت

$$\left( \frac{E_s}{E_c} = n \right)$$

می‌گیرد. به همین منظور مقطع بتن آرمه، به مقطع تبدیل یافته زیر تبدیل می‌شود:



$$\bar{x} = \frac{\sum A_i x_i}{\sum A_i} = \frac{b \times h \times \frac{h}{2} + (n-1)A_s \times d}{b \times h + (n-1)A_s}$$

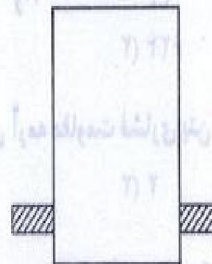
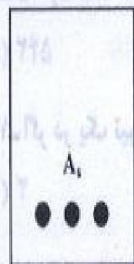


$$I_{tr} = \frac{1}{12}bh^3 + bh\left(\frac{h}{2} - \bar{x}\right)^2 + (n-1)A_s \times (d - \bar{x})^2$$

$$\frac{n-1}{2}A_s \quad \frac{n-1}{2}A_s \quad (۲-۲)$$

$I_{tr}$ : ممان اینرسی مقطع تبدیل یافته

(۳-۱) سراسری



$$nA_s$$

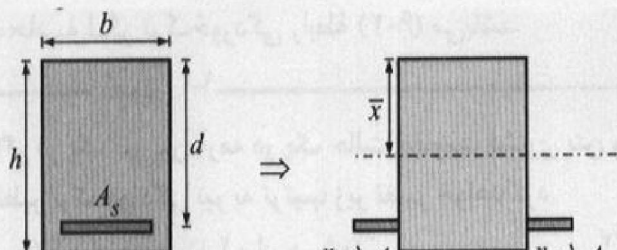
$$3nA_s$$

$$(n-1)A_s$$

$$3(n-1)A_s$$

در صورتی که لنگر خمی وارد بر مقطع برابر  $M$  باشد، تنش ایجاد شده در فولاد و بتن برابر است با:

$$f_{c,max} = \frac{M\bar{x}}{I_{tr}} < \frac{1}{2}f_c \quad (۳-۳)$$



$$f_{t,max} = \frac{M(h - \bar{x})}{I_{tr}} \leq f_r \quad (۴-۱)$$

$$f_s = n \frac{M(d - \bar{x})}{I_{tr}} < f_y \quad (۵-۱)$$

$f_{c,max}$ : تنش فشاری ایجاد شده در دورترین تار فشاری بتن

$f_{t,max}$ : تنش کششی ایجاد شده در دورترین تار کششی بتن

$f_s$ : تنش کششی ایجاد شده در میلگردها

$f_r$ : تنش گسیختگی بتن

$$f_r = 0.16 \sqrt{f_c}$$

$$M_{cr} = \frac{f_r I_{tr}}{h - \bar{x}} \quad (۶-۱) \quad \text{لنگر ترک خوردنگی مقطع با توجه به رابطه (۴-۲) برابر است با:}$$

(سراسری ۸۸)

که ۱۷- اگر در یک تیر بتن آرمه مقاومت فشاری بتن ۲ برابر شود، لنگر ترک خوردنی تیر برابر می‌شود.

 $\sqrt{2}$  (۴) $\sqrt{3}$  (۳)

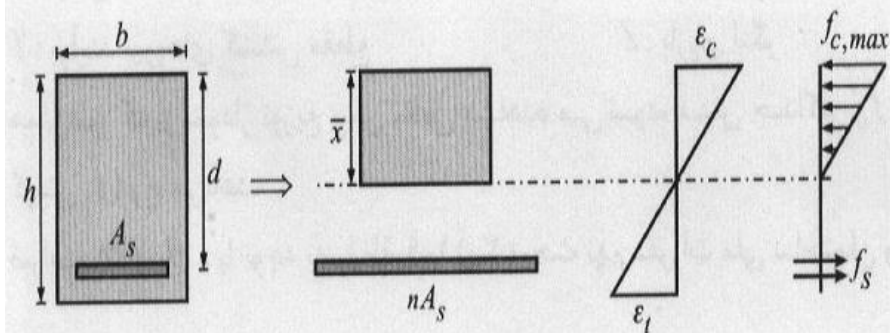
۲/۲

۳/۱

## ۳-۲- بروزی رفتار تیر در ناحیه الاستوپلاستیک

در این حالت با ترک خوردن بتن در ناحیه کششی، از ظرفیت آن صرفنظر می‌شود. همچنین رفتار بتن در ناحیه فشاری و فولاد در ناحیه کششی خطی بوده و می‌توان تحلیل مقطع را با استفاده از روابط مقاومت مصالح انجام داد. در این صورت مقطع تبدیل یافته به صورت زیر می‌باشد:

$$(n = \frac{E_s}{E_c})$$

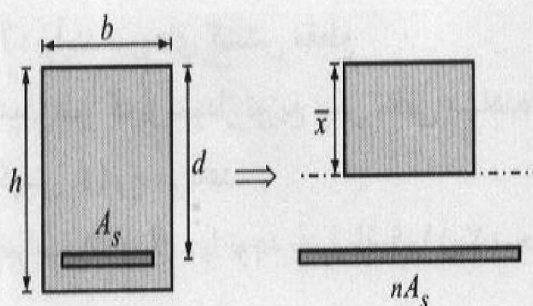


$$\sum Q_{N.A.} = 0 \Rightarrow b\bar{x}(\frac{\bar{x}}{2}) = nA_s(d - \bar{x}) \quad (7-۶)$$

لنگر اول سطح حول محور خنثی  $Q_{N.A.}$ 

ارتفاع محور خنثی ( $\bar{x}$ )، با حل معادله فوق محاسبه می‌گردد. مقدار ممان اینرسی مقطع تبدیل یافته در این حالت برابر است با:

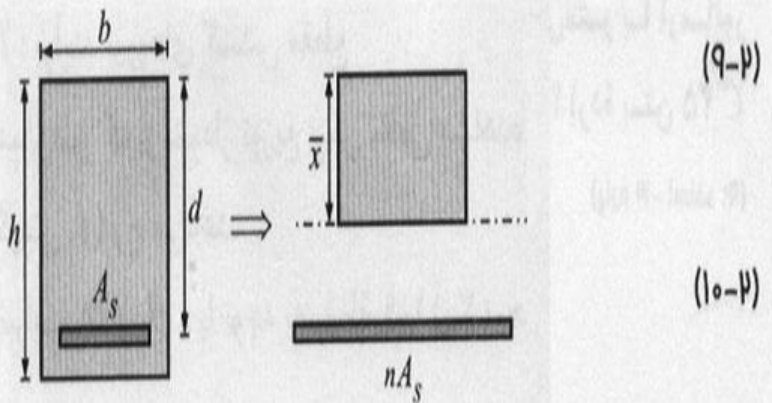
$$I_{tr} = \frac{1}{3}b\bar{x}^3 + nA_s(d - \bar{x})^2 \quad (8-۶)$$



تنش‌های ایجاد شده در فولاد و بتن به صورت زیر به دست می‌آیند:

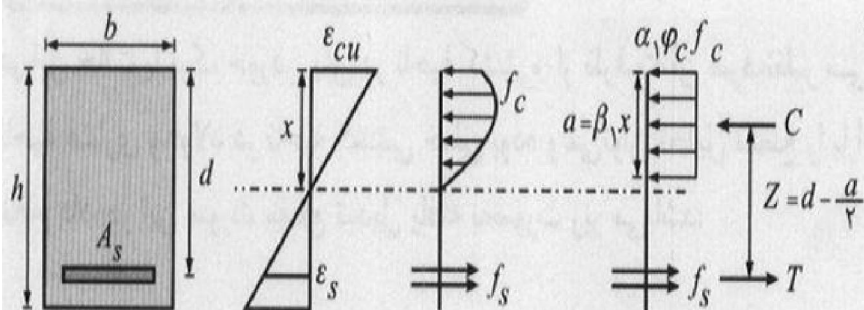
$$f_{c,max} = \frac{M\bar{x}}{I_{tr}} < \frac{1}{\gamma} f_c$$

$$f_s = n \frac{M(d - \bar{x})}{I_{tr}} < f_y$$



#### ۴-۲- بررسی رفتار تیر در ناحیه پلاستیک

در این محدوده، رفتار بتن در ناحیه فشاری غیر خطی بوده و تنش‌های ایجاد شده در آن با کرنش متناسب نمی‌باشد. به همین علت برای تحلیل مقطع در لحظهٔ نهایی به جای نمودار واقعی، از نمودار توزیع تنش مستطیلی معادل ویتنی استفاده می‌شود. در شکل زیر، نمودار تنش واقعی بتن و نمودار تنش معادل ویتنی، نشان داده شده است.



$C$ : برآیند نیروهای فشاری مقطع

$a$ : ارتفاع ناحیه فشاری بلوك ویتنی

$Z$ : بازوی لنگر

$T$ : برآیند نیروهای کششی مقطع

ضرایب  $\alpha_1$  و  $\beta_1$  ، با توجه به رابطه ۳-۱۱-۹ مبحث نهم مقررات ملی ساختمان ویرایش ۱۳۸۸، عبارتند از:

$$\alpha_1 = 0.85 - 0.0015 f_c \quad (11-2)$$

$$\beta_1 = 0.97 - 0.0025 f_c \quad (11-2)$$

$f_c$ : مقاومت فشاری مشخصه بتن بر حسب مگاپاسکال

نکته ۱: مقدار کرنش حد شکست بتن ( $\varepsilon_{cu}$ ) با توجه به بند ۲-۳-۱۱-۹ مبحث نهم مقررات ملی ساختمان ویرایش ۱۳۸۸، برابر  $0.0035$  در نظر گرفته می‌شود.

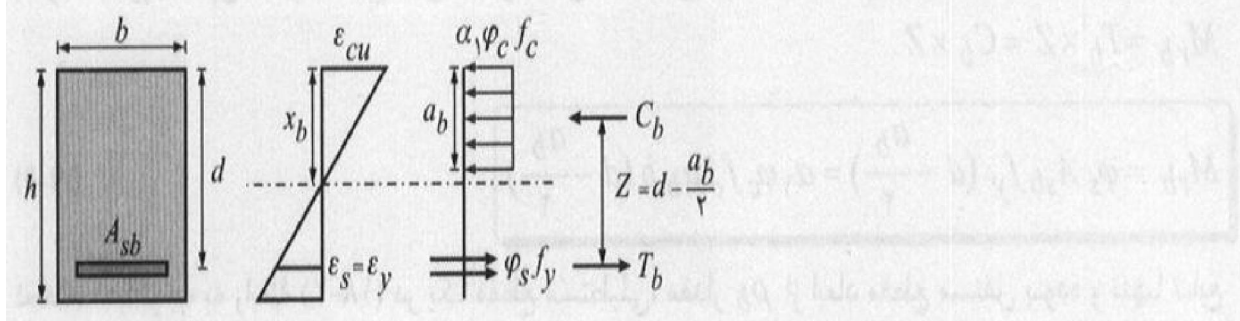
نکته ۲: نمودار توزیع تنش مستطیلی ویتنی تنها در لحظه نهایی یعنی هنگامی که کرنش در دورترین تار فشاری بتن به کرنش  $\varepsilon_{cu}$  رسیده است، به کار می‌رود.

## ۵-۵- وضعیت متعادل (بالانس، متوازن) در مقطع مستطیلی

برای تعیین وضعیت شکست مقطع، باید کم فولاد و یا پر فولاد بودن مقطع مشخص گردد. برای این منظور از مقایسه مقدار فولاد موجود مقطع، با فولاد مقطع در حالت بالانس ( $A_{sb}$ ) استفاده می‌شود.

در حالت بالانس، کرنش در پایین‌ترین ردیف میلگرد های کششی، به کرنش حد جاری شدن می‌رسد ( $\varepsilon_y = \varepsilon_s$ ) و به طور همزمان کرنش دورترین تار فشاری بتن به کرنش حد گسیختگی ( $\varepsilon_{cu}$ ) می‌رسد.

با استفاده از این مفهوم، برای تحلیل مقطع می‌توان به صورت زیر عمل نمود:

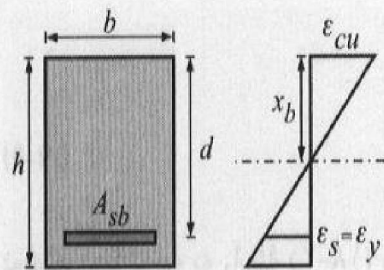


با توجه به خطی بودن نمودار کرنش‌ها، ارتفاع محور خنثی در این حالت برابر است با:

$$x_b = \frac{\varepsilon_{cu}}{\varepsilon_{cu} + \varepsilon_y} d \quad (13-2)$$

در صورتی که  $E_s = 2 \times 10^5 \text{ MPa}$  در نظر گرفته شود، با ضرب آن در رابطه فوق، به صورت ساده‌تر داریم:  $\varepsilon_{cu} = 0.035$  در نظر گرفته شده است.

$$x_b = \frac{\varepsilon_{cu}}{\varepsilon_{cu} + \varepsilon_y} d = \frac{E_s \varepsilon_{cu}}{E_s \varepsilon_{cu} + \underbrace{E_s \varepsilon_y}_{f_y}} d$$



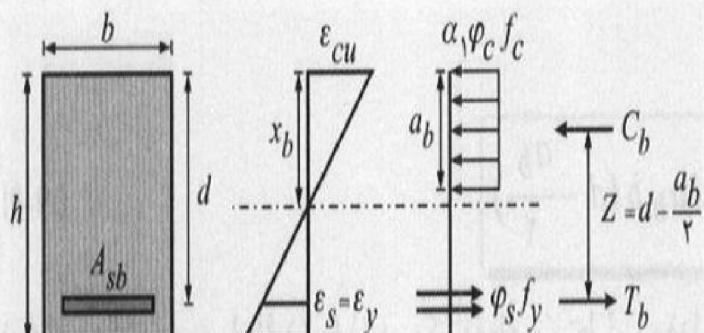
$$x_b = \frac{400}{400 + f_y} d \quad (14-2)$$

نکته: همان‌طور که از رابطه فوق مشخص است، ارتفاع محور خنثی با توجه به نمودار کرنش‌ها به دست آمده و از شکل مقطع، مستقل است.

مقدار فولاد متوازن، با استفاده از معادلات تعادل مقطع به صورت زیر محاسبه می‌شود:

$$\begin{cases} C_b = \alpha_1 \varphi_c f_c a_b b \\ T_b = \varphi_s A_{sb} f_y \end{cases} \quad \sum F = 0 \Rightarrow C_b = T_b$$

$$A_{sb} = \frac{\alpha_1 \varphi_c f_c a_b b}{\varphi_s f_y} \quad (15-2)$$



$$A_{sb} = \alpha_1 \beta_1 \frac{\varphi_c f_c}{\varphi_s f_y} \frac{400}{400 + f_y} b d \quad (16-2)$$

با توجه به رابطه (۱۶-۲)، درصد فولاد متوازن مقطع ( $\rho_b$ ) برابر است با:

$$\rho_b = \frac{A_{sb}}{bd} \quad (17-2)$$

$$\rho_b = \alpha_1 \beta_1 \frac{\varphi_c}{\varphi_s} \frac{f_c}{f_y} \frac{\gamma_0}{\gamma_0 + f_y} \quad (18-2)$$

تذکر: در این رابطه  $f_c$  و  $f_y$  بر حسب مگاپاسکال می‌باشند.

با توجه به روابط فوق، لنگر خمی قابل تحمل مقطع مستطیلی در حالت بالانس برابر است با:

$$M_{rb} = T_b \times Z = C_b \times Z$$

$$M_{rb} = \varphi_s A_{sb} f_y \left( d - \frac{a_b}{2} \right) = \alpha_1 \varphi_c f_c a_b b \left( d - \frac{a_b}{2} \right) \quad (19-2)$$

نکته ۱: با توجه به رابطه (۱۸-۲) در یک مقطع مستطیلی، مقدار  $\rho_b$  از ابعاد مقطع مستقل بوده و تنها تابع مشخصات مصالح مصرفی می‌باشد.

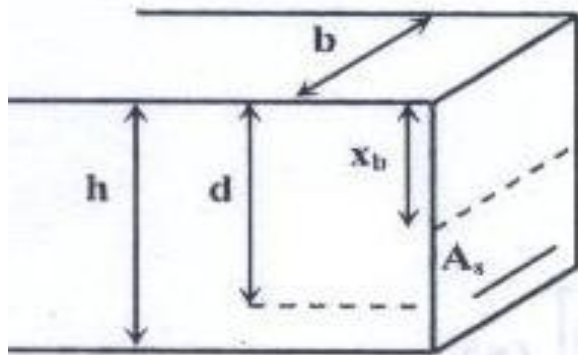
نکته ۲: در صورتی که فولاد کششی موجود در مقطع، کمتر از فولاد متوازن (حالت بالانس) باشد ( $A_s < A_{sb}$ ) یا  $\rho_b < \rho$ ، مقطع کم فولاد (تحت مسلح) بوده و در لحظه نهایی، شکست آن به صورت شکل پذیر (نرم) می‌باشد و در صورتی که فولاد کششی موجود در مقطع، بیشتر از فولاد بالانس باشد ( $A_s > A_{sb}$  یا  $\rho_b > \rho$ )، مقطع پر فولاد (فوق مسلح) بوده و در لحظه نهایی، شکست آن به صورت ناگهانی و ترد رخ می‌دهد. همچنین

برای تعیین وضعیت مقطع می‌توان از مقایسه  $a$  با  $a_b$  نیز استفاده نمود. در این صورت می‌توان نسبت  $\frac{a_b}{d}$  را

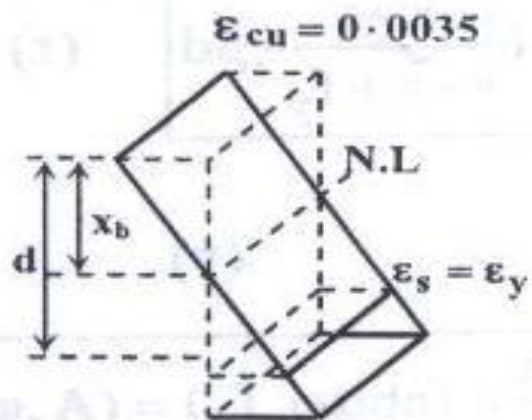
$$a_b = \beta_1 \frac{\gamma_0}{\gamma_0 + f_y} d \quad \text{به صورت مقابل تعریف نمود:}$$

$$\frac{a_b}{d} = \frac{\gamma_0 \beta_1}{\gamma_0 + f_y} \quad (20-2)$$

در این حالت چنانچه  $\frac{a}{d} > \frac{a_b}{d}$  باشد، مقطع کم فولاد و در صورتی که  $\frac{a}{d} < \frac{a_b}{d}$  باشد، مقطع پر فولاد می‌باشد.



N.L.



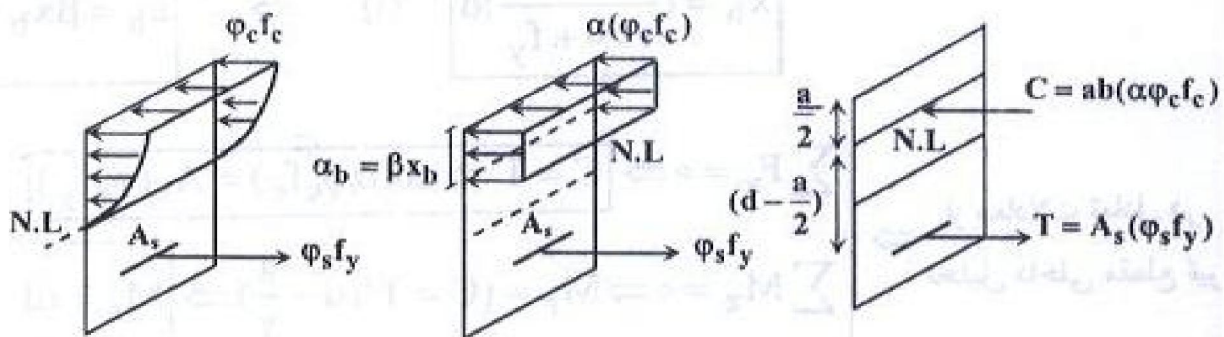
$$\epsilon_{cu} = 0 \cdot 0035$$

مقطع بالانس با مشخصات هندسی و

صالحی مجهول

توزیع کرنش در حالت

حدی در مقاطع بالانس



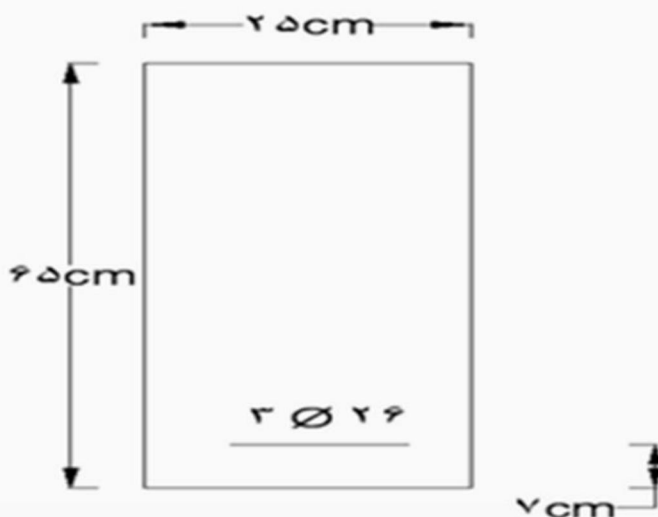
توزیع واقعی تنش  
در حالت حدی در مقطع بالانس

توزیع اصلاح شده تنش  
در حالت حدی در مقطع بالانس

دیاگرام نیرویی  
مقطع بالانس در حالت حدی

- در تیر بتی با مقطع زیر، لنگر خمی  $60 \text{ KN.m}$  وارد می شود. با توجه به اطلاعات داده شده، تنش های حداکثر به وجود آمده در بتن و فولاد را محاسبه کنید. لنگر خمی که باعث ترک خوردن مقطع می شود چقدر است؟

$f_c = 25 \text{ MPa}$        $F_y = 400 \text{ MPa}$



#### ۶-۲- مقاطع کم فولاد

در این مقاطع قبل از اینکه کرنش بتن به کرنش حد شکست ( $\varepsilon_{cu}$ ) برسد، فولادهای کشی جاری می شوند. بنابراین در لحظه نهایی  $\varepsilon_y > \varepsilon_s$  می باشد.

لازم به ذکر است در این حالت برای محاسبه ارتفاع محور خنثی ( $x$ )، به دلیل مشخص نبودن مقدار  $\varepsilon_s$  (فقط می دانیم  $\varepsilon_y > \varepsilon_s$  است)، نمی توان از نمودار کرنش ها استفاده نمود. بنابراین مقدار  $a$  و  $x$ ، با استفاده از رابطه  $T = C \Rightarrow \phi_s A_s f_y = \alpha_1 \phi_c f_c ab$  تعادل مقطع به صورت زیر محاسبه می شوند:

$$a = \frac{\phi_s A_s f_y}{\alpha_1 \phi_c f_c b} \quad (۱۱-۴)$$

$$x = \frac{a}{\beta_1} \quad (۱۲-۴)$$

لنگر خمی قابل تحمل مقطع در این حالت برابر است با:

$$M_r = \varphi_s A_s f_y \left(d - \frac{a}{\gamma}\right) \quad (13-2)$$

همچنین با جایگذاری مقدار  $a$  در رابطه فوق، می‌توان لنگر خمی را به صورت زیر نیز محاسبه نمود:

$$M_r = \rho \varphi_s f_y b d^{\gamma} \left(1 - \alpha_1 \frac{\rho \varphi_s f_y}{\alpha_1 \varphi_c f_c}\right) \quad (13-3)$$

به تیری با مقطع مربع مستطیل به عرض ۴۰ سانتی‌متر و ارتفاع نامعلوم، در حالت حدی نهایی، لنگر خمی  $M_u = 18 \text{ ton-m}$  وارد می‌شود. ارتفاع تیر باید چه اندازه باشد تا میزان نسبت میلگرد کششی از حدود  $\alpha_1 \rho_b$  تجاوز نکند؟

(پایه ۳-۱۸)

$$f_c = 200 \text{ kg/cm}^2, f_y = 400 \text{ kg/cm}^2$$

هل؛ مقدار  $\rho_b$  با استفاده از رابطه (۱۸-۲) برابر است با:

$$\rho_b = \alpha_1 \beta_1 \frac{\varphi_c f_c}{\varphi_s f_y} \frac{700}{700 + f_y}$$

مقدار  $\alpha_1$  و  $\beta_1$  مطابق روابط (۱۱-۲) و (۱۲-۲)، عبارتند از:

$$\alpha_1 = 0.85 - 0.0015 f_c = 0.85 - 0.0015 \times 20 = 0.82$$

$$\beta_1 = 0.97 - 0.0025 f_c = 0.97 - 0.0025 \times 20 = 0.92$$

$$\rho_b = 0.82 \times 0.92 \times \frac{0.65}{0.85} \times \frac{20}{400} \times \frac{700}{700 + 400} = 0.018$$

$$0.018 \rho_b = 0.009$$

با توجه به اینکه در صد میلگرد مقطع ( $\rho_b = 0.15$  کمتر می‌باشد، لذا مقطع کم فولاد بوده، بنابراین با استفاده از رابطه (۲۴-۲) داریم:

$$M_r = \rho \varphi_s f_y b d^4 \left(1 - \frac{\rho \varphi_s f_y}{\alpha_1 \varphi_c f_c}\right)$$

$$M_r = M_u = 18 \text{ ton.m} = 18 \times 10^7 \text{ N.mm}$$

$$18 \times 10^7 = 0.15 \times 0.85 \times 400 \times 400 \times d^4 \left(1 - \frac{0.15 \times 0.85 \times 400}{0.82 \times 0.65 \times 20}\right) \Rightarrow d = 414 \text{ mm}$$

$$h = d + \text{cover}$$

ضخامت پوشش بتن روی میلگرد، با استفاده از جدول ۹-۶ در مبحث نهم مقررات ملی ساختمان ویرایش ۱۳۸۸، با فرض شرایط محیطی متوسط، برابر ۴۵ میلی‌متر به دست می‌آید. بنابراین ارتفاع تیر برابر است با:  
 $h = 414 + 45 = 459 \text{ mm} \approx 500 \text{ mm}$

تذکرہ: اعداد به کار رفته در روابط فوق، همگی بر حسب نیوتون و میلی‌متر نوشته شده‌اند.

**جدول ۹-۶ - \* مقادیر حداقل ضخامت پوشش بتن روی میلگردها (میلی‌متر)**

نوع شرایط محیطی					نوع قطعه
فوق العاده شدید	بسیار شدید	شدید	متوسط	ملایم	
۷۵	۶۵	۵۰	۴۵	۳۵	تیرها و ستون‌ها
۶۰	۵۰	۳۵	۳۰	۲۰	دال‌ها، دیوارها و تیرچه‌ها
۵۵	۴۵	۳۰	۲۵	۲۰	پوسته‌ها و صفحات پلیسیه‌ای
۹۰	۷۵	۶۰	۵۰	۴۰	شالوده‌ها

\* مقادیر داده شده در جدول را می‌توان به استثنای شرایط محیطی بسیار شدید و فوق العاده شدید به اندازه ۵ میلی‌متر برای بتن‌های رده C۴۰ و C۴۵ یا ۱۰ میلی‌متر برای بتن‌های رده بالاتر کاهش داد، مشروط بر آن که ضخامت پوشش به هر حال از ۲۰ میلی‌متر کمتر نشود.  
 این مقادیر را باید برای میلگردهای با قطر بیشتر از ۲۶ میلی‌متر به اندازه ۱۰ میلی‌متر افزایش داد.

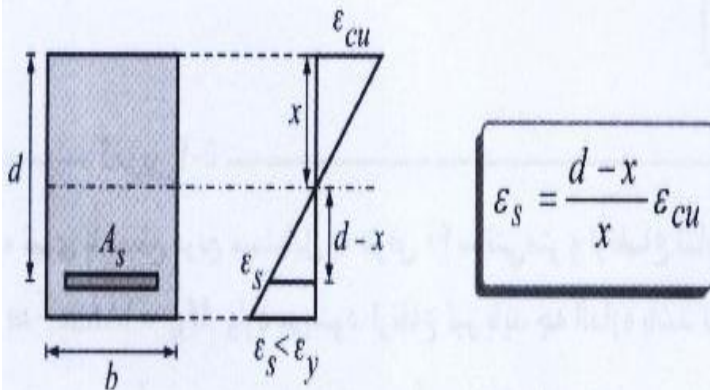
## ۷-۲- مقاطع پر فولاد

در این حالت، فولادهای کششی مقطع به حد جاری شدن نرسیده و  $\varepsilon_s < \varepsilon_y$  می‌باشد. بنابراین برای محاسبه

$$a = \frac{\varphi_s A_s f_s}{\alpha_1 \varphi_c f_c b} \quad \text{ارتفاع بلوك فشاري (a)، با استفاده از معادلات تعادل داريم:}$$

با توجه به جاری نشدن فولادهای کششی، مقدار  $f_s$  متناظر با مقدار کرنش فولادها بوده و برابر  $E_s \varepsilon_s$  می‌باشد.

با توجه به نمودار کرنش‌ها در این حالت داریم:



$$\varepsilon_s = \frac{d-x}{x} \varepsilon_{cu} \quad (15-2)$$

در صورتی که مقدار  $E_s = 2 \times 10^5 MPa$  و  $\varepsilon_{cu} = 0.0035$  در نظر گرفته شود، داریم:

$$f_s = E_s \varepsilon_s = 200 \cdot \frac{d-x}{x} \quad (16-2)$$

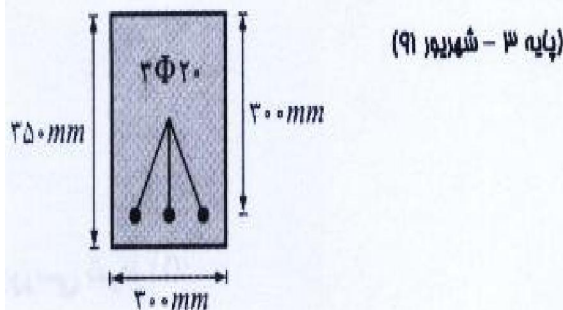
با توجه به رابطه فوق و رابطه تعادل مقطع، به معادله درجه دوم زیر برای محاسبه  $a$  می‌رسیم:

$$a^2 + 200 \cdot \frac{\varphi_s A_s}{\alpha_1 \varphi_c f_c b} a - 200 \beta_1 \frac{\varphi_s A_s}{\alpha_1 \varphi_c f_c b} d = 0 \quad (17-2)$$

با محاسبه  $a$ ، مقدار لنگر خمی قابل تحمل مقطع در این حالت برابر است با:

$$M_r = \varphi_s A_s f_s \left( d - \frac{a}{2} \right) = \alpha_1 \varphi_c f_c ab \left( d - \frac{a}{2} \right) \quad (18-2)$$

مقطع تیری مطابق شکل زیر می‌باشد. رفتار خمشی تیر چگونه است؟ ( $f_c = 25 MPa$ ,  $f_y = 400 MPa$ )



- (۱) پر فولاد
- (۲) کم فولاد
- (۳) غیر مسلح
- (۴) متعادل

هل؛ مساحت آرماتور متوازن مقطع با فرض  $\epsilon_{cu} = 0.035$ ، با استفاده از رابطه (۱۶-۲) درسنامه، به صورت زیر محاسبه می‌شود:

$$A_{sb} = \alpha_1 \beta_1 \frac{\varphi_c}{\varphi_s} \cdot \frac{f_c}{f_y} \cdot \frac{700}{700 + f_y} bd$$

$$\begin{cases} \alpha_1 = 0.85 - 0.0015 f_c \\ \beta_1 = 0.97 - 0.0025 f_c \end{cases}$$

$$\begin{cases} \alpha_1 = 0.85 - 0.0015 \times 25 = 0.81 \\ \beta_1 = 0.97 - 0.0025 \times 25 = 0.91 \end{cases}$$

$$A_{sb} = 0.81 \times 0.91 \times \frac{0.65}{0.85} \times \frac{25}{400} \times \frac{700}{700 + 400} \times 300 \times 300 = 2018 mm^2$$

$$A_s_{موجود} = 3 \times \frac{\pi}{4} \times 32^2 = 2412 mm^2 > A_{sb} = 2018 mm^2$$

بنابراین مقطع موردنظر فوق مسلح (پروفولاد) می‌باشد.  
بنابراین گزینه (۱) صحیح است.

#### ۸-۲- محدودیت میلگردها در قطعات خمشی

#### ۸-۲-۱- حداقل مقدار میلگرد کششی

بیشترین مقدار میلگرد کششی باید به گونه‌ای تعیین شود که روابط زیر برقرار باشند:

$$\rho \leq 0.025$$

(۳۰-۲)

$$\frac{x}{d} \leq \frac{700}{700 + f_y} \quad (۲۹-۲)$$

نکته: رابطه (۲۹-۲) برای اطمینان از نرم بودن شکست مقطع (کم فولاد بودن مقطع)، به کار می‌رود

حداکثر مقدار آرماتور کششی تیری به ابعاد مقطع  $d = 30\text{ cm}$  و  $b = 35\text{ cm}$  (مقطع بدون آرماتور فشاری) به کدام

$$(پایه ۳ - ۹) \quad (f_y = 400\text{ MPa} \text{ و } f_c = 22/5\text{ MPa})$$

(۱) ۱۶/۱ سانتیمتر مربع (۲) ۲۱/۴ سانتیمتر مربع (۳) ۲۶/۳ سانتیمتر مربع (۴) ۱۹/۸ سانتیمتر مربع

حل:

$$1) \frac{x}{d} \leq \frac{700}{700 + 400} \Rightarrow x \leq 19/09\text{ cm}$$

$$2) \rho \leq 0/025$$

بررسی شرط (۱):

$$\frac{x}{30} \leq \frac{700}{700 + 400} \Rightarrow x \leq 19/09\text{ cm}$$

$$a = \beta_1 x$$

$$\beta_1 = 0/97 - 0/0025 f_c = 0/97 - 0/0025 \times 22/5 = 0/91$$

رابطه (۱۲-۲) درسنامه

$$a_{max} = 0/91 \times 19/09 = 17/37\text{ cm}$$

$$\varphi_s A_s f_y = \alpha_1 \varphi_c f_c ab \Rightarrow A_{s_{max}} = \frac{\alpha_1 \varphi_c f_c a_{max} b}{\varphi_s f_y}$$

$$\alpha_1 = 0/85 - 0/0015 f_c = 0/85 - 0/0015 \times 22/5 = 0/82$$

رابطه (۱۱-۲) درسنامه

$$A_{s_{max}} = \frac{0/82 \times 0/85 \times 22/5 \times 17/37 \times 35}{0/85 \times 400} = 21/44\text{ cm}^2$$

بررسی شرط (۲):

$$\rho_{max} = 0/025 \Rightarrow A_{s_{max}} = \rho_{max} bd$$

$$A_{s_{max}} = 0/025 \times 35 \times 30 = 26/25\text{ cm}^2$$

$$A_{s_{max}} = \min(A_{s_{max}}, A_{s_{max}})$$

$$A_{s_{max}} = 21/44\text{ cm}^2$$

بنابراین گزینه (۳) صحیح است.

## ۲-۸-۲ - حداقل مقدار میلگرد کشش

حداقل مقدار میلگرد کششی در قطعات خمی برابر است با:

$$\rho_{min} = \max \left\{ \frac{1/4}{f_y}, \frac{0.125\sqrt{f_c}}{f_y} \right\} \quad (31-2)$$

تذکر: در رابطه فوق،  $f_c$  و  $f_y$  بر حسب مگاپاسکال (MPa) می‌باشند.

$$A_{smin} = \rho_{min} bd \quad (32-2)$$

نکته: در صورتی که مقدار فولاد کششی محاسبه شده، از مقدار حاصل از رابطه (۳۲-۲) کمتر باشد، در صورت قرار دادن  $1/33$  برابر مقدار فولاد کششی محاسبه شده در مقطع، لزومی به رعایت ضابطه حداقل فولاد کششی نمی‌باشد. رعایت این ضابطه در پی‌های نواری و دال‌ها، باعث صرفه‌جویی در مصرف میلگرد می‌شود.

در یک تیر خمی بتن آرمه با ابعاد  $d = 500 \text{ mm}$ ,  $h = 550 \text{ mm}$ ,  $b = 320 \text{ mm}$  مقدار فولاد حداقل خمی  
چقدر است؟ ( $f_c = 35 \text{ MPa}$ ,  $f_y = 380 \text{ MPa}$ )

هل؛ مقدار حداقل فولاد خمی با توجه به روابط (۳۱-۲) و (۳۲-۲)، برابر است با:

$$\rho_{min} = \max \left\{ \frac{1/4}{f_y}, \frac{0.125\sqrt{f_c}}{f_y} \right\}$$

$$A_{smin} = \rho_{min} bd$$

$$\rho_{min} = \max \left\{ \frac{1/4}{380}, \frac{0.125\sqrt{35}}{380} \right\} = \max \{ 0.0037, 0.0039 \} = 0.0039$$

$$A_{smin} = 0.0039 \times 320 \times 500 = 624 \text{ mm}^2$$

کل ۶- در یک تیر بتن آرمه با مقطع مستطیلی با ابعاد  $d = 500 \text{ mm}$ ,  $h = 550 \text{ mm}$ ,  $b = 320 \text{ mm}$ ، مقدار فولاد حداقل خمی بر حسب mm<sup>2</sup>

(سراسری) چقدر است؟ ( $f_c = 35 \text{ MPa}$ ,  $f_y = 380 \text{ MPa}$ )

۶۴۲(۴)

۵۲۴(۳)

۶۲۴(۲)

۵۴۲(۱)

### ۳-۸-۲-مددویت‌های فاصله میلگردها

- ۱) فاصله آزاد بین هر دو میلگرد موازی واقع در یک سفره، نباید از هیچ‌یک از مقادیر زیر کمتر باشد:  
الف) قطر میلگرد بزرگتر ب)  $25\text{ میلی‌متر}$  پ)  $1/33$  برابر قطر اسمی بزرگترین سنگدانه بتن
- ۲) فاصله محور تا محور میلگردهای طولی از یکدیگر، نباید بیشتر از  $200\text{ میلی‌متر}$  باشد.
- ۳) در صورتی که میلگردهای موازی در چند سفره قرار بگیرند، فاصله آزاد بین هر دو سفره، نباید نه از  $25\text{ میلی‌متر}$  و نه از قطر بزرگترین میلگرد، کمتر باشد.

## فصل نهم : برش

۱-۱-۳- پرسی اثر برش در اعضای بتن آرمه

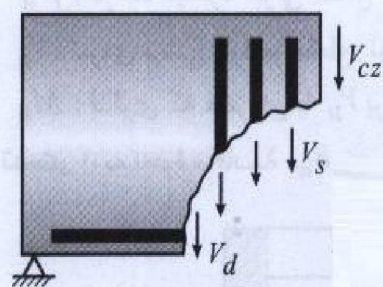
۱-۱-۳- ظرفیت برشی تیر بتن آرمه

تیرها علاوه بر لنگر خمی، تحت برش نیز قرار می‌گیرند. بنابراین طراحی مقاطع باید به گونه‌ای انجام شود که توانایی تحمل برش وارده را نیز داشته باشد. با توجه به این که گسیختگی برشی در تیرها به صورت ناگهانی و بدون هشدار قبلی رخ می‌دهد، از این رو طراحی تیرها به صورتی انجام می‌شود که گسیختگی تیرها تحت خمش اتفاق بیافتد. زیرا همان‌طور که در فصل قبل شرح داده شد، مقاطع کم فولاد تحت خمش، شکست شکل‌پذیر و با هشدار قبلی دارند. مقاومت برشی مقاطع بتن آرمه ناشی از دو عامل زیر می‌باشد:

۱) مقاومت برشی بتن،  $V_c$

۲) مقاومت برشی میلگردهای عرضی (خاموت‌ها)،  $V_s$

شکل مقابل مربوط به یک تیر تحت برش می‌باشد. همان‌طور که مشاهده می‌شود، اجزای مختلف تیر بتن آرمه در تحمل برش نقش دارند.



نکته: قبل از وقوع ترک در مقطع، میلگردهای برشی نقشی در تحمل برش ندارند و تنها عامل مقاومت برشی مقطع، مقاومت ناشی از بتن می‌باشد.

در حالت حدی نهایی، نیروی برشی مقاوم مقطع از رابطه زیر محاسبه می‌شود:

$$V_r = V_c + V_s \quad (1-3)$$

در صورتی که نیروهای برشی به دست آمده از تحلیل سازه تحت اثر بارهای نهایی برابر  $V_u$  باشد، کنترل حالت حدی نهایی بر اساس رابطه زیر صورت می‌گیرد:

$$V_u \leq V_r \quad (3-3)$$

نکته: حداقل مقدار  $V_r$ ، به  $\varphi_c f_c b_w d / 25^{\circ}$  محدود می‌شود.

در مبحث نهم مقررات ملی ساختمان ویرایش ۱۳۸۸، مقاومت برشی بتن در اعضای مختلف، به صورت روابط قریبی و دقیق آورده شده است، که در ادامه شرح داده می‌شوند.

مقاومت برشی اعضايی که تحت اثر برش، خمش و فشار محوري قرار دارند:

$$V_c = 0.12 \varphi_c \sqrt{f_c} b_w d$$

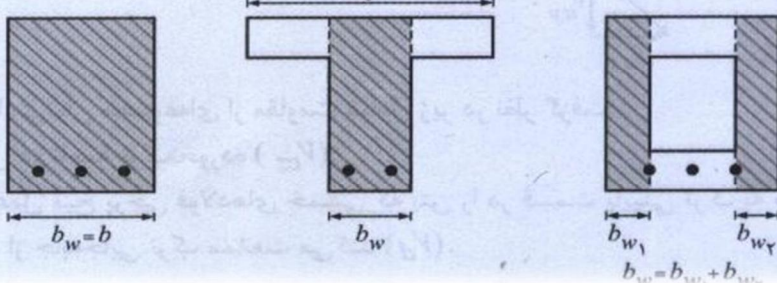
$\varphi_c$ : ضریب اینمی جزئی مقاومت بتن ( $\varphi_c = 0.165$ )

$f_c$ : مقاومت فشاری مشخصه نمونه استاندارد بتن، مگاپاسکال

$b_w$ : عرض بزرگترین مستطیل مقطع که در تمام ارتفاع مقطع حضور دارد، میلی‌متر

$d$ : عمق مؤثر مقطع، میلی‌متر

ذکر ۱، به نحوه محاسبه  $b_w$  در مقاطع زیر توجه شود:



مقاومت برشی اعضايی که تحت اثر برش، خمش و فشار محوري قرار دارند:

$$V_c = 0.12 \varphi_c \sqrt{f_c} \left(1 + \frac{N_u}{12A_g}\right) b_w d \quad (14-4) \text{ (رابطه تقریبی)}$$

$N_u$ : نیروی محوري فشاری وارد بر مقطع، نیوتن

مقاومت برشی اعضايی که تحت اثر برش، خمش و کشش محوري قرار دارند:

$$V_c = 0.12 \varphi_c \sqrt{f_c} \left(1 + \frac{N_u}{3A_g}\right) b_w d \geq 0 \quad (15-1)$$

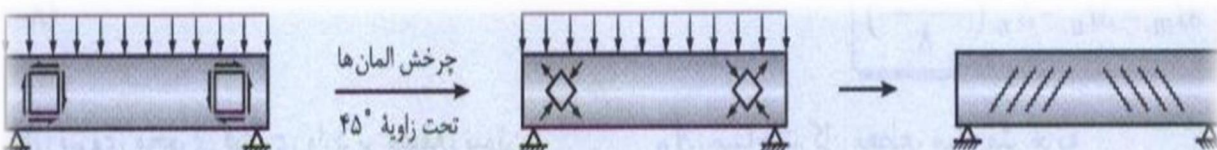
ذکر: در ابطة فوق،  $N_u$ ، نیروی محوري کششی بوده و با علامت منفی به کار می‌رود.

### ۳-۱-۳- مقاومت برشی میلگردها

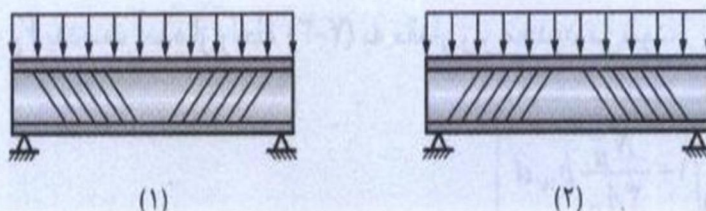
میلگردهای برشی به شکل‌های مختلف در مقطع به کار می‌روند، از جمله رایج‌ترین آنها عبارتند از:

- ۱) خاموت‌های عمود بر محور عضو (خاموت قائم).
  - ۲) خاموت‌هایی با زاویه  $45^\circ$  درجه یا بیشتر نسبت به میلگردهای کششی طولی به نحوی که ترک‌های احتمالی قطری را قطع کنند (خاموت مایل).
  - ۳) میلگردهای طولی خم شده به قطر حداقل  $36$  میلی‌متر و با زاویه  $30^\circ$  درجه یا بیشتر نسبت به میلگردهای کششی طولی، به نحوی که ترک‌های قطری احتمالی را قطع کنند.
  - ۴) ترکیبی از خاموت‌های قائم یا مایل با میلگردهای طولی خم شده.
  - ۵) میلگردهای طولی توزیع شده در ارتفاع تیرهای عمیق (تیرهایی که نسبت ارتفاع مقطع به دهانه آزاد آنها بزرگ‌تر از  $\frac{1}{4}$  می‌باشد، تیر عمیق نامیده می‌شوند).
- ۶) دورپیچ‌ها

نکته: همان‌طور که گفته شد، با پیدایش اولیه ترک‌ها در مقطع، بخش عمده نیروی برشی به میلگردهای برشی منتقال می‌یابد. بیشترین استفاده از ظرفیت برشی میلگردها هنگامی رخ می‌دهد که میلگردهای برشی عمود بر استای ترک‌های ایجاد شده در طول عضو به کار روند و در صورتی که این میلگردها در راستای ترک‌ها به کار وند، عملأً از ظرفیت برشی آنها استفاده نشده و میلگردها قادر به تحمل نیروهای برشی نیستند.



نابرابر آرایش میلگردها در تیر (۱) مناسب بوده ولی در تیر (۲) عملأً از ظرفیت برشی میلگردها استفاده نمی‌شود.



### ۱-۳-۱-۳- مقاومت برشی خاموت‌های قائم

مقاومت برشی خاموت‌های قائم مطابق رابطه زیر به دست می‌آید:

$$V_s = \varphi_s A_{sv} f_{yv} \frac{d}{S} \quad (11-13)$$

$\varphi_s$ : ضریب جزئی اینمی فولاد ( $0/85$ )

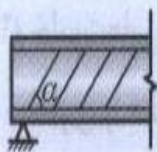
$A_{sv}$ : سطح مقطع شاخه‌های قائم خاموت

$f_{yv}$ : مقاومت مشخصه فولادهای عرضی که نباید بیشتر از  $400 \text{ MPa}$  در نظر گرفته شود.

$S$ : فاصله افقی بین خاموت‌ها

$V_s$ : نیروی برشی مقاوم نهایی خاموت‌ها

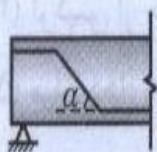
### ۱-۳-۲-۳- مقاومت برشی خاموت‌های مایل



$$V_s = \varphi_s A_{sv} f_{yv} (\sin \alpha + \cos \alpha) \frac{d}{S} \quad (11-13)$$

$\alpha$ : زاویه بین خاموت‌های مایل و محور طولی عضو

### ۱-۳-۳-۳- مقاومت برشی میلگردهای طولی خم شده



$$V_s = \varphi_s A_{sv} f_{yv} \sin \alpha \leq 0/3 \varphi_c \sqrt{f_c} b_w d \quad (11-13)$$

$V_s$ : نیروی برشی مقاوم نهایی یک میلگرد منفرد و یا یک ردیف میلگردهای متوازی که همگی در فاصله‌ای یکسان از تکیه‌گاه خم شده‌اند، نیوتن.

در طراحی میلگردهای برشی تیرهای بتن آرمه، در صورتی که به جای خاموت‌های عمود بر محور عضو، از خاموت‌های مایل با زاویه ۴۵ درجه استفاده شود (بدون تغییر در تعداد، قطر و فاصله خاموت‌ها)، مقاومت برشی تأمین شده توسط میلگردها در حالت مایل، کدامیک از مقادیر زیر خواهد بود؟ (پایه ۳ - ۸۰)

- (۱) حدود چهل درصد بیشتر از حالت عمودی  
 (۲) برابر با حالت عمودی  
 (۳) حدود ۷/۰ برابر حالت عمودی  
 (۴) بدون معلوم بودن قطر خاموت‌ها قابل تعیین نیست.

علل با توجه به بندهای ۱-۳ و ۲-۳ درسنامه، داریم:

$$\begin{cases} V_{S_1} = \varphi_s A_{sv} f_{yv} \frac{d}{S} & \text{مقاومت برشی خاموت‌های قائم} \\ V_{S_2} = \varphi_s A_{sv} f_{yv} (\sin \alpha + \cos \alpha) \frac{d}{S} & \text{مقاومت برشی خاموت‌های مایل} \end{cases}$$

با توجه به ثابت بودن تعداد، قطر و فاصله خاموت‌ها و مقاومت مشخصه آنها، داریم:

$$\frac{V_{S_2}}{V_{S_1}} = \sin \alpha + \cos \alpha, \quad \alpha = 45^\circ$$

$$\frac{V_{S_2}}{V_{S_1}} = 1/41$$

بنابراین مقاومت برشی میلگردها در حالت مایل، حدود چهل درصد بیشتر از حالت عمودی می‌باشد و گزینه (۱) صحیح است.

مقطعی از یک تیر بتن آرمه مفروض است. در این مقطع برای تحمل برش از تعدادی میلگرد موازی که همگی در فاصله‌ای یکسان از تکیه‌گاه خم شده‌اند، استفاده می‌شود. ارتفاع مؤثر مقطع برابر با ۶۰۰ میلی‌متر، عرض مقطع برابر با ۴۰۰ میلی‌متر، زاویه میلگردهای خم شده به بالا نسبت به افق برابر با ۴۵ درجه، مقاومت مشخصه میلگردهای خم شده به بالا برابر با  $340 MPa$ ، مقاومت مشخصه بتن برابر با  $25 MPa$  و قطر میلگرد خم شده به بالا برابر با  $12 mm$  است.  $V_c$  و  $V_s$  به ترتیب از راست به چپ برابرند با:

- (۱)  $23 kN, 144 kN$   
 (۲)  $138 kN, 144 kN$   
 (۳)  $23 kN, 54 kN$   
 (۴)  $216 kN, 54 kN$

عله با توجه به رابطه‌های (۴-۳) و (۱۳-۳) و با فرض  $\varphi_c = ۰/۶$ ، داریم:

$$V_c = ۰/۲ \varphi_c \sqrt{f_c} b_w d$$

$$V_c = ۰/۲ \times ۰/۶ \times \sqrt{۲۵} \times ۴۰۰ \times ۶۰۰ = ۱۴۴۰۰۰ N = ۱۴۴ kN$$

$$V_s = \varphi_s A_{sv} f_{yv} \sin \alpha \leq ۰/۳ \varphi_c \sqrt{f_c} b d$$

$\alpha$ : زاویه بین میلگردهای خم شده با محور طولی عضو

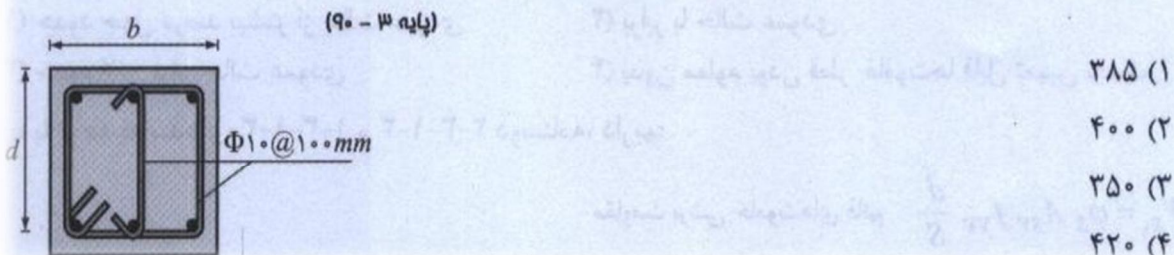
$$۰/۳ \varphi_c \sqrt{f_c} b d = ۰/۳ \times ۰/۶ \times \sqrt{۲۵} \times ۴۰۰ \times ۶۰۰ = ۲۱۶۰۰۰ N = ۲۱۶ kN$$

$$V_s = ۰/۸۵ \times \frac{\pi}{۴} \times ۱۰^۲ \times ۳۴۰ \times \sin ۴۵ = ۲۳۱۱۲ \approx ۲۳ kN < ۲۱۶ kN$$

بنابراین گزینه (۱) صحیح است.

در صورتی که  $f_y = ۴۰۰ MPa$  و  $f_c = ۲۵ MPa$  و  $d = ۴۰ cm$ ،  $b = ۲۵ cm$  و از آرماتورهای برشی عمود بر محور

تیر مطابق شکل استفاده شده باشد، نیروی برشی مقاوم مقطع بر حسب کیلونیوتون به کدام گزینه نزدیک‌تر است؟



عله نیروی برشی مقاوم مقطع، مطابق روابط (۱-۳)، (۴-۳) و (۱۱-۳) درستنامه، بصورت زیر محاسبه می‌شود:

$$V_r = V_c + V_s$$

$$V_c = ۰/۲ \varphi_c \sqrt{f_c} b_w d$$

$$V_c = ۰/۲ \times ۰/۶۵ \times \sqrt{۲۵} \times ۲۵۰ \times ۴۰۰ = ۶۵۰۰۰ N$$

$$V_s = \varphi_s A_{sv} f_{yv} \frac{d}{S}$$

$$V_s = ۰/۸۵ \times ۳ \times \frac{\pi}{۴} \times ۱۰^۲ \times ۴۰۰ \times \frac{۴۰}{۱۰} = ۳۲۰۴۴۲/۵ N$$

$$V_r = ۶۵۰۰۰ + ۳۲۰۴۴۲/۵ = ۳۸۵۴۴۲/۵ N$$

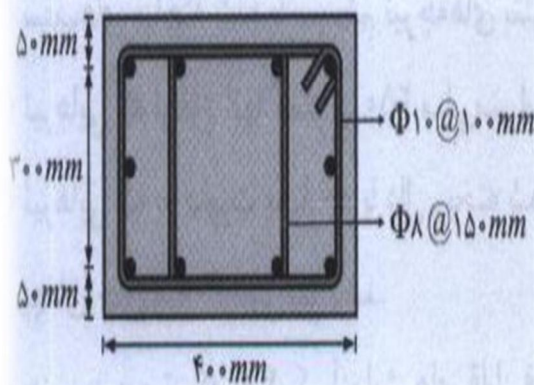
$$V_r \approx ۳۸۵/۴ kN$$

از طرفی مطابق نکته بند ۱-۳-۱، مقدار  $V_r$  باید از  $۰/۲۵ \varphi_c f_c b_w d$  بیشتر باشد، بنابراین:

$$V_r \leq ۰/۲۵ \varphi_c f_c b_w d = ۰/۲۵ \times ۰/۶۵ \times ۲۵ \times ۲۵۰ \times ۴۰۰ = ۴۰۶۲۵۰ N$$

$$V_r \leq ۴۰۶ kN$$

بنابراین گزینه (۱) صحیح است.



۱۹۲ (۱)

۲۱۱ (۲)

۲۱۹ (۳)

۲۹۱ (۴)

لئه مطابق روابط (۱-۳)، (۴-۳) و (۱۱-۳) درسنامه، داریم:

$$V_c = ۰/۲ \varphi_c \sqrt{f_c} b_w d , V_s = \frac{\varphi_s A_{sv} f_y d}{S}$$

$$V_r = V_c + V_s$$

$$V_r \leq ۰/۲۵ \varphi_c f_c b_w d$$

$$V_c = ۰/۲ \times ۰/۶۵ \times \sqrt{۲۵} \times ۴۰ \times (۳۰ + ۵) = ۹۱۰۰ N$$

$$V_{s_1} = \frac{۰/۸۵ \times ۲ \times \frac{\pi}{۴} \times ۱۰^۲ \times ۳۰ \times ۳۵}{۱۰۰} = ۱۴۰۱۹۴ N$$

$$V_{s_2} = \frac{۰/۸۵ \times ۲ \times \frac{\pi}{۴} \times ۸^۲ \times ۳۰ \times ۳۵}{۱۵۰} = ۵۹۸۱۶ N$$

$$V_s = V_{s_1} + V_{s_2} \Rightarrow V_s = ۲۰۰۰۱۰ N$$

$$V_r = ۹۱۰۰ + ۲۰۰۰۱۰ = ۲۹۱۰۱۰ N = ۲۹۱ kN$$

$$۰/۲۵ \varphi_c f_c b_w d = ۰/۲۵ \times ۰/۶۵ \times ۲۵ \times ۴۰ \times ۳۵ = ۵۶۸۷۵ N$$

$$V_r = ۲۹۱ kN < ۵۶۸۷۵ N$$

بنابراین گزینه (۴) صحیح است.

### ۱-۴-۱-۳- حداقل میلگرد برشی

در تمام اعضای خمی بتن آرمه که در آنها  $\frac{V_c}{V_u} >$  باشد، باید حداقل میلگرد برشی که از رابطه زیر محاسبه می شود، در مقطع به کار برد شود:

$$\frac{A_{sv\ min}}{S} = ۰/۳۵ \frac{b_w}{f_{yv}} \quad (۱۵-۱۳)$$

نکته: مطابق مبحث نهم مقررات ملی ساختمان در موارد زیر می‌توان ضابطه حداقل میلگرد برشی را نادیده گرفت:

- ۱) دال‌ها و پی‌ها
- ۲) سقف‌های ساخته شده با سیستم تیرچه‌های بتونی
- ۳) تیرهایی که ارتفاع آنها کمتر از  $250$  میلی‌متر است.
- ۴) تیرهایی که به صورت یکپارچه با دال ریخته شده و ارتفاع کل آنها کمتر از  $2/5$  برابر ضخامت دال، نصف پهنای جان و  $600$  میلی‌متر باشد.

#### ۲-۴-۱-۳- حداکثر فاصله خاموت‌های برشی

فاصله حداکثر خاموت‌های برشی قائم، با توجه به مقدار  $V_u$  برابر است با:

$$V_u \leq 0/125 \varphi_c f_c b_w d \Rightarrow S_{max} = \frac{d}{\varphi} \quad (16-۱)$$

$$V_u > 0/125 \varphi_c f_c b_w d \Rightarrow S_{max} = \frac{d}{\varphi} \quad (17-۱)$$

#### ۳-۱-۵- طراحی میلگردهای برشی

با توجه به مقدار برش وارد بر مقطع ( $V_c$ ) و مقاومت برشی بتون مقطع ( $V_u$ )، طراحی میلگردهای برشی براساس موارد زیر انجام می‌شود:

۱) در صورتی که  $\frac{V_c}{\varphi} < V_u$  باشد، مقاومت برشی مقطع به تنها بروجوابگو بوده و نیازی به وجود میلگرد برشی نمی‌باشد.

۲) اگر  $\frac{V_c}{\varphi} < V_u < V_c$  باشد، باید میلگرد برشی حداقل به میزان  $\frac{b_w}{f_y}$  در مقطع قرار بگیرد.

۳) اگر  $V_u > V_c$  باشد، باید میلگردهای برشی محاسباتی که با استفاده از رابطه زیر محاسبه می‌شوند، در مقطع قرار بگیرند:

$$\frac{A_{sv}}{S} = \frac{V_u - V_c}{\varphi_s f_y d} \geq \left( \frac{A_{sv}}{S} \right)_{min}$$

نیز با مقطع  $40 \times 60\text{ cm}$  و  $d = 50\text{ cm}$ ، در نیمة وسط دهانه، باید برش نهایی  $V_u = 28\text{ ton}$  و در دو ربع کناری دهانه، باید برش  $V_u = 36\text{ ton}$  را تحمل کند. بگویید کدام یک از خاموت‌گذاری‌های زیر جوابگو است؟

(۸۲ - ۳۰)

$$f_c = 100 \text{ kg/cm}^2, f_y = 400 \text{ kg/cm}^2$$

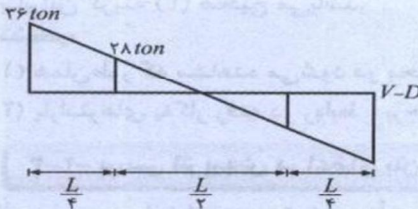
$\Phi_{12}@2.0\text{ cm}$ ,  $\Phi_{12}@1.0\text{ cm}$  (%)

$\Phi_{12} @ 25 \text{ cm}$ ,  $\Phi_{12} @ 15 \text{ cm}$  (1)

$\Phi_{12} @ 20\text{ cm}$ ,  $\Phi_{12} @ 25\text{ cm}$  (F)

$\Phi_{12} @ 25\text{ cm}$ ,  $\Phi_{12} @ 10\text{ cm}$  (%)

عله با توجه به داده‌های مسئله، می‌توان فهمید تیر تحت بار گستردۀ یکنواخت قرار دارد، بنابراین نمودار بررس آن به صورت زیر می‌باشد:



بیا توجه به روابط ارائه شده در درسنامه، داریم:

$$V_c = \circ 18 \varphi_c \sqrt{f_c} b_w d$$

$$V_C = 0.12 \times 0.180 \times \sqrt{20} \times 400 \times 500 = 116275 \text{ m}^3 N \approx 11.63 \text{ ton}$$

در نیمة وسط دهانه  $V_u = 28 \text{ ton}$  بوده، بنابراین:

$$V_u > V_c \Rightarrow V_s = V_u - V_c \Rightarrow V_s = 18/34 \text{ ton}$$

$$V_s = \varphi_s A_{sv} f_{yv} \frac{d}{S} \Rightarrow \frac{A_{sv}}{S} = \frac{16/3^2 \times 10^4}{0.18 \times 10^4 \times 0.001} = 0.96$$

با توجه به پیکسان بودن قطر میلگردها در هر ۴ گزینه، دارایم:

$$A_{sv} = \pi \times 12^2 = 226.19 \text{ mm}^2 \Rightarrow S = 23.16 \text{ cm}$$

حداکثر فاصله خاموت‌ها مطابق بند ۳-۴-۲ درسنامه کنترل می‌شود:

$$\begin{cases} V_u = 2 \text{ kN} \\ 0.125 \phi_c f_c b_w d = 0.125 \times 0.65 \times 20 \times 400 \times 500 = 325000 N = 325 kN \end{cases}$$

$$V_u \leq 0.125 \varphi_c f_c b_w d \Rightarrow S_{max} = \frac{d}{r}$$

$$V_u > 0.115 \varphi_c f_c b_w d \Rightarrow S_{max} = \frac{d}{\varphi}$$

$$\gamma \Delta ton < \gamma \gamma / \Delta ton \Rightarrow S_{max} = \frac{d}{\gamma} = \gamma \Delta cm \Rightarrow use \Phi 12 @ \gamma \circ cm$$

از طرفی در دو ربع کناری دهانه  $V_u = 36 \text{ ton}$  بوده، بنابراین به طور مشابه داریم:

$$\begin{cases} V_c = 11/63 \text{ ton} \\ V_u = 36 \text{ ton} \end{cases} \Rightarrow V_u > V_c \Rightarrow V_s = V_u - V_c = 24/37 \text{ ton}$$

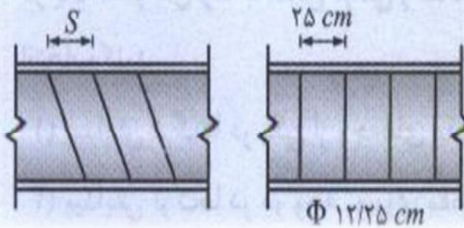
$$V_s = \varphi_s A_{sv} f_{yy} \frac{d}{S} \Rightarrow \frac{A_{sv}}{S} = \frac{24 \times 34 \times 10^4}{180 \times 400 \times 500} = 1/43$$

$$A_{sv} = 2 \times \frac{\pi}{4} \times 12^2 = 226.19 \text{ mm}^2 \Rightarrow S = 151.8 \text{ cm}$$

$$V_u = 38 \text{ ton} > 0.125 \phi_c f_c b_w d = 32.5 \text{ ton}$$

نیاں این گزینہ (۲) صحیح می ریشد۔

- در یک تیر بتن آرمه تحت اثر بار ثقلی با مقطع  $(d = 55\text{ cm})$ ، برای مقابله با برش، از دو حلقه خاموت  $2\Phi 12 @ 25\text{ cm}$  به طور قائم استفاده شده است. اگر بخواهیم خاموت‌ها را به طور مورب تحت زاویه  $6^\circ$  قرار دهیم، کدام یک از ترکیبات زیر را انتخاب می‌کنید؟  
(پایه ۶ - ۸)



$2\Phi 12 @ 35\text{ cm}$  (۱)

$2\Phi 12 @ 30\text{ cm}$  (۲)

$2\Phi 10 @ 25\text{ cm}$  (۳)

$2\Phi 8 @ 20\text{ cm}$  (۴)

$$V_{s_1} = \varphi_s A_{sv_1} f_{yv} \frac{d}{S_1} \quad \text{مقاومت برشی خاموت‌های قائم}$$

$$V_{s_2} = \varphi_s A_{sv_2} f_{yv} (\sin \alpha + \cos \alpha) \frac{d}{S_2} \quad \text{مقاومت برشی خاموت‌های مایل}$$

با توجه به ثابت بودن برش وارد بر مقطع در دو حالت، باید مقاومت برشی میلگردها در هر دو حالت نیز یکسان باشد، بنابراین داریم:

$$V_{s_1} = V_{s_2} \Rightarrow \frac{A_{sv_1}}{S_1} = \frac{A_{sv_2}}{S_2} (\sin \alpha + \cos \alpha), \quad \alpha = 6^\circ$$

$$\frac{2 \times 2 \times \frac{\pi}{4} \times 12^2}{250} = \frac{A_{sv_2}}{S_2} (\sin 6^\circ + \cos 6^\circ)$$

$$\frac{A_{sv_2}}{S_2} = 1/325$$

با توجه به گزینه‌ها داریم:

$$\frac{A_{sv}}{S} = \frac{2 \times 2 \times \frac{\pi}{4} \times 12^2}{350} = 1/293 < 1/325 \quad \text{گزینه ۱}$$

$$\frac{A_{sv}}{S} = \frac{2 \times 2 \times \frac{\pi}{4} \times 12^2}{300} = 1/250.8 > 1/325 \quad \text{گزینه ۲}$$

$$\frac{A_{sv}}{S} = \frac{2 \times 2 \times \frac{\pi}{4} \times 10^2}{250} = 1/257 < 1/325 \quad \text{گزینه ۳}$$

$$\frac{A_{sv}}{S} = \frac{2 \times 2 \times \frac{\pi}{4} \times 8^2}{200} = 1/100.5 < 1/325 \quad \text{گزینه ۴}$$

بنابراین گزینه (۲) صحیح می‌باشد.

تذکر: ۱) در محاسبه  $A_{sv}$  طبق صورت سؤال، مساحت دو حلقه خاموت در نظر گرفته شده است، یعنی با توجه به اینکه هر حلقه شامل دو شاخه میلگرد است داریم:

$$A_{sv} : 2\Phi 12 \Rightarrow A_{sv} = 2 \times 2 \times \frac{\pi}{4} \times 12^2 = 452.4 \text{ mm}^2$$

دقیق شود میلگردهای برشی داده شده در گزینه‌ها نیز، شامل دو حلقه خاموت بسته می‌باشند.

۲) اعداد به کار رفته در روابط برحسب میلی‌متر می‌باشند.

- در یک نقشه اجرایی از خاموت‌های  $\Phi 8 @ 150 \text{ mm}$  که یک در میان دارای قلاب  $\Phi 12$  هستند، استفاده شده است. اگر بخواهیم قلاب‌ها را حذف کنیم، فاصله پیشنهادی مهندس ناظر برای خاموت  $\Phi 8$  چه مقدار باید باشد؟

(۱)  $95 \text{ mm}$       (۲)  $115 \text{ mm}$       (۳)  $70 \text{ mm}$       (۴) هیچ‌کدام (پایه ۱-۸۶)

$$A_{sv1} = \left( \pi \times \frac{8^2}{4} \right) \times 2 = 100 \text{ mm}^2 \Rightarrow \frac{A_{sv1}}{S_1} = \frac{100}{150} = 0.67 (\Phi 8 @ 150 \text{ mm})$$

$$A_{sv2} = \left( \pi \times \frac{12^2}{4} \right) = 113 \text{ mm}^2 \Rightarrow \frac{A_{sv2}}{S_2} = \frac{113}{300} = 0.38 (\Phi 12 @ 300 \text{ mm})$$

$$\frac{A_{sv1}}{S_1} + \frac{A_{sv2}}{S_2} = 0.67 + 0.38 = 1.05 \Rightarrow \frac{A_{sv1}}{S} = 1.05 \Rightarrow S = \frac{100}{1.05} = 95.2 \text{ mm}$$

تذکر: با توجه به اینکه قلاب‌های  $\Phi 12$  به صورت یک در میان به کار رفته‌اند، فاصله آنها برابر  $2 \times 150 = 300 \text{ mm}$  است.

۷- برای یک تیر بتنی با مقطع  $400 \times 400 mm$  در یک ساختمان بتنی با شکل پذیری متوسط، در نزدیک تکیه گاهها از خاموت‌های  $\Phi 10 @ 80$  از نوع  $S 340$  استفاده شده است. چنانچه در هنگام اجرا، میلگردهای  $S 340$  موجود نبوده و به جای آن میلگردهایی از نوع  $S 400$  موجود باشد، استفاده از کدامیک از گزینه‌های زیر برای تیر مذکور مناسب‌تر است؟ (پایه ۱۳ - ۸۹)

$\Phi 10 @ 80 (4)$

$\Phi 10 @ 100 (3)$

$\Phi 10 @ 125 (2)$

$\Phi 10 @ 150 (1)$

مقاومت برشی خاموت‌ها در هر دو حالت باید یکسان باشد. بنابراین با توجه به رابطه (۱۰-۹-۱) مبحث نهم

$$V_s = \varphi_s A_{sv} f_{yv} \frac{d}{S}$$

مقررات ملی ساختمان ویرایش ۱۳۸۸، داریم:

$$V_{s1} = V_{s2} \Rightarrow \varphi_s A_{sv1} f_{yv1} \frac{d}{S_1} = \varphi_s A_{sv2} f_{yv2} \frac{d}{S_2}$$

$$\frac{A_{sv1} f_{yv1}}{S_1} = \frac{A_{sv2} f_{yv2}}{S_2} \Rightarrow \frac{\frac{2 \times \pi}{4} \times 10^2 \times 340}{80} = \frac{A_{sv2} \times 400}{S_2} \Rightarrow \frac{A_{sv2}}{S_2} = 1167$$

با توجه به اینکه در تمام گزینه‌ها از خاموت  $\Phi 10$  استفاده شده است، داریم:

$$\frac{\frac{2 \times \pi}{4} \times 10^2}{S_2} = 1167 \Rightarrow S_2 = 94 mm$$

بنابراین حداکثر فاصله خاموت‌ها باید برابر  $94 mm$  باشد. با توجه به گزینه‌ها داریم:

$$(1) : S = 150 mm > 94 mm$$

$$(2) : \text{گزینه } S = 125 mm > 94 mm$$

$$(3) : S = 100 mm > 94 mm$$

$$(4) : \text{گزینه } S = 80 mm < 94 mm$$

بنابراین گزینه (۴) صحیح است.

با استناد به بندهای ۹-۱۲-۱، ۲-۲-۹، ۱-۱-۳-۱۲-۹ و ۱-۲-۴-۱۲-۹ از مبحث نهم مقررات ملی ساختمان ویرایش ۱۳۸۸، و همچنین با توجه به توضیحات ارائه شده در درسنامه داریم:

$$V_c = 0.12 \varphi_c \sqrt{f'_c} bd \quad \text{مقدار } \varphi_c = 0.16 \text{ فرض می‌شود.}$$

$$V_c = 0.12 \times 0.16 \times \sqrt{30} \times 350 \times 500 = 115021 N = 115 ton$$

$$V_s = V_{s1} + V_{s2} = \varphi_s f_{yv} d \left( \frac{A_{sv1}}{S_1} + \frac{A_{sv2}}{S_2} \right)$$

$$V_s = 0.12 \times 300 \times 500 \times \left( \frac{\frac{2 \times \pi}{4} \times 10^2}{100} + \frac{\frac{2 \times \pi}{4} \times 12^2}{125} \right) = 315636 N = 316 ton$$

$$V_r = V_c + V_s = 115 + 316 = 431 ton$$

تذکر، با توجه به بند ۹-۱۲-۴-۲-۶ از مبحث نهم مقررات ملی ساختمان ویرایش ۱۳۸۸، به دلیل اینکه بیشتر از یک نوع میلگرد برشی در مقطع وجود دارد، مقاومت برشی میلگردها برابر مجموع مقادیر  $V_s$  میلگردها می‌باشد.

در رابطه فوق  $\frac{A_{sv_1}}{S_1}$  مربوط به تنگ بسته  $\Phi 10 @ 10\text{ cm}$  و  $\frac{A_{sv_2}}{S_2}$  مربوط به قلاب تکشاخه  $\Phi 12 @ 12/5\text{ cm}$  می‌باشد.

در حالت اول از میلگردهای برشی قائم و در حالت دوم از میلگردهای برشی مایل با زاویه  $45^\circ$  درجه استفاده شده است، بنابراین ظرفیت برشی در هر حالت برابر است با:

$$V_{s_1} = \varphi_s A_{sv_1} f_{yv} \frac{d}{S_1}$$

$$V_{s_2} = \varphi_s A_{sv_2} f_{yv} \frac{d}{S_2} (\sin \alpha + \cos \alpha) ; \quad (\alpha = 45^\circ)$$

با توجه به یکسان بودن مقادیر  $A_{sv}$  و  $S$  در دو حالت داریم:

$$\frac{V_{s_2}}{V_{s_1}} = (\sin \alpha + \cos \alpha) \Rightarrow \frac{V_{s_2}}{V_{s_1}} = (\sin 45 + \cos 45) \Rightarrow V_{s_2} = 1/41 V_{s_1}$$

با استفاده از بندهای ۹-۱۲-۶ و ۶-۱-۳-۱۲-۹ مبحث نهم مقررات ملی ساختمان ویرایش ۱۳۸۸، داریم:

$$V_r = V_c + V_s$$

$$V_c = 0.2 \varphi_c \sqrt{f_c} b_w d$$

$$V_s = \varphi_s A_{sv} f_{yv} \frac{d}{S}$$

(ضریب ایمنی جزیی بتن در قطعات درجا  $\varphi_c = 0.65$  می‌باشد)

$$V_c = 0.2 \times 0.65 \times \sqrt{22/5} \times 300 \times (400 - 60) = 62898 N$$

$$V_s = 0.185 \times 2 \times \frac{\pi}{4} \times 12^2 \times 400 \times \frac{400 - 60}{100} = 326851 N$$

$$V_r = V_c + V_s = 389749 N \approx 390 kN$$

از طرفی مطابق بند ۳-۲-۱۲-۹ مبحث نهم مقررات ملی ساختمان، مقدار  $V_r$  باید از  $\frac{1}{25} \varphi_c f_c b_w d$  بیشتر باشد، بنابراین:

$$V_r \leq \frac{1}{25} \varphi_c f_c b_w d = \frac{1}{25} \times 0.65 \times 22/5 \times 300 \times (400 - 60) = 372937 N$$

$$V_r \leq 373 kN$$

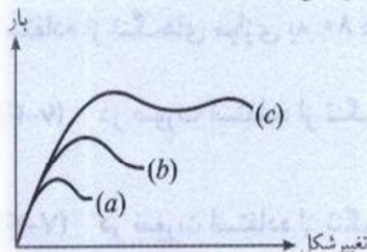
با توجه به این که مقدار  $373 kN$  از  $390 kN$  بیشتر است، لذا مقاومت برشی مقطع برابر  $V_r = 373 kN$  در نظر گرفته می‌شود. براساس مبحث نهم مقررات ملی ساختمان بایستی  $V_s$  کوچکتر از  $4V_r$  باشد که طراح سؤال به این موضوع توجه نداشته است و از این نظر مقطع بتن آرمه مطرح شده اشکال دارد.

## فصل دهم : ستون ها

ستون ها اعضای فشاری هستند که عمدتاً تحت نیروی محوری و یا ترکیبی از نیروی محوری و لنگر خمشی قرار دارند. ستون ها به دو نوع ستون های کوتاه و لاغر تقسیم می شوند. ستون ها عموماً به صورت "کوتاه" هستند، مگر این که تحت تغییر مکان های جانبی ایجاد شده در اثر بارهای وارد، لنگر خمشی اضافی ایجاد شده بیش از ۵ درصد از مقاومت ستون کم کند. در این صورت، ستون "لاغر" نامیده می شود. برای افزایش ظرفیت فشاری و خمشی در ستون ها، از میلگردهای طولی به همراه میلگردهای عرضی استفاده می شود. می توان مهم ترین نقش میلگردهای عرضی را تأمین قیود جانبی برای میلگردهای طولی و جلوگیری از کمانش آنها به حساب آورد. میلگردهای عرضی به دو صورت تنگ بسته و دور پیچ به کار می روند.

نکته: مزیت دور پیچ نسبت به تنگ در این است که دور پیچ، با ایجاد محصور شدگی مناسب برای هسته ستون، مقاومت، شکل پذیری و قابلیت جذب انرژی مقطع را افزایش می دهد.

در نمودار زیر، منحنی بار - تغییر مکان برای سه ستون مشابه با سه نوع فولادگذاری عرضی متفاوت نشان داده شده است. منحنی (a) مربوط به ستون با فولاد عرضی کم، منحنی (b) مربوط به ستون با تنگ بسته و منحنی (c) نشان دهنده ستون با دور پیچ می باشد. همان طور که از این نمودار مشاهده می شود، تحت بارهای کم، فولادهای عرضی در میزان تغییر شکل های ایجاد شده تأثیر چندانی ندارند، زیرا سه منحنی بر هم منطبق می باشند؛ اما در بارهای بالاتر، میزان فولادهای عرضی و فاصله آنها نقش بسزایی در رفتار ستون و منحنی بار - تغییر مکان دارد. به طوری که در ستون با دور پیچ، شکل پذیری و مقاومت ستون به طور چشمگیری افزایش داشته است.



تذکر: منحنی (a) می تواند مربوط به ستونی با پوشش بتن ناکافی روی میلگردهای طولی نیز باشد، زیرا در این صورت با فشار نسبتاً کمی پوشش بتنی روی میلگردهای طولی خرد شده و در اثر کمانش میلگردهای طولی، ستون دچار گسیختگی می شود.

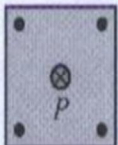
#### ۱-۴- تحلیل ستون تحت بار محوری خالص

در صورتی که بار محوری فشاری به مرکز پلاستیک مقطع (در صورت متقابن بودن مقطع، مرکز پلاستیک بر مرکز سطح مقطع منطبق است) اعمال شود، هیچ لنگر خمشی ایجاد نشده و تمام نقاط مقطع تحت فشار قرار گرفته و در لحظهٔ نهایی شکست، کرنش تمام مقطع به طور همزمان به  $\epsilon_{cu}$  می‌رسد. در این حالت، ستون تحت فشار خالص قرار دارد.

تحلیل ستون تحت بار محوری خالص در دو حالت حدی بهره‌برداری و حدی نهایی بررسی می‌شود.

#### ۱-۱-۴- تحلیل ستون در حالت حدی بهره‌برداری تحت بار محوری خالص

در این حالت مطابق مبحث نهم مقررات ملی ساختمان، رعایت ضابطهٔ خاصی الزامی نبوده و با توجه به یکسان بودن کرنش در بتون و فولاد، می‌توان تنش هر یک را به صورت زیر محاسبه کرد:



$$\epsilon_s = \epsilon_c \Rightarrow \frac{\sigma_s}{E_s} = \frac{\sigma_c}{E_c} \Rightarrow \sigma_s = \frac{E_s}{E_c} \sigma_c \quad (1-14)$$

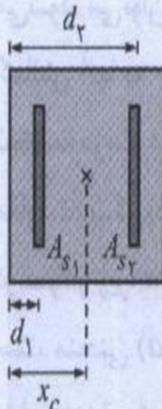
$$\sigma_s = n\sigma_c$$

$$\sigma_c = \frac{P}{A_c + nA_s} = \frac{P}{A_c + nA_s} \quad (2-14)$$

$$\sigma_s = \frac{nP}{A_c + nA_s} \quad (3-14)$$

#### ۱-۴-۴- تحلیل ستون در حالت حدی نهایی تحت بار محوری خالص

با توجه به شکل نشان داده شده، در صورت متقارن نبودن مقطع، محل مرکز پلاستیک به صورت زیر محاسبه می‌گردد:



$$x_p = \frac{\alpha_1 \varphi_c f_c (A_g - A_s) \times x_c + \varphi_s f_{y1} A_{s1} \times d_1 + \varphi_s f_{y2} A_{s2} \times d_2}{\alpha_1 \varphi_c f_c (A_g - A_s) + \varphi_s f_{y1} A_{s1} + \varphi_s f_{y2} A_{s2}} \quad (14-14)$$

$x_c$ : محل مرکز سطح بتون

$A_g$ : سطح مقطع کل میلگردها

در این صورت نیروی محوری خالص وارد بر مقطع برابر است با:

$$N_r = \alpha_1 \varphi_c f_c (A_g - A_s) + \varphi_s f_{y1} A_{s1} + \varphi_s f_{y2} A_{s2} \quad (14-15)$$

طبقه توصیه بند ۱۱-۴-۳-۱۱-۹ مبحث نهم مقررات ملی ویرایش ۱۳۸۸، حداکثر نیروی محوری مقاوم در صورت استفاده از تنگ‌های موازی به  $80\%$  درصد و در صورت استفاده از دوربیج به  $85\%$  درصد مقدار فوق محدود می‌شود.

$$N_{r_{max}} = 0.8 N_r \quad (14-16) \quad \text{در صورت استفاده از تنگ موازی}$$

$$N_{r_{max}} = 0.85 N_r \quad (14-17) \quad \text{در صورت استفاده از تنگ مارپیچ}$$

ابعاد مقطع یک ستون کوتاه  $50 \times 50$  سانتی‌متر است. اگر این ابعاد ده درصد افزایش یابد و درصد فولاد آن برابر با یک درصد ثابت بماند، حداکثر ظرفیت بار محوری ستون چند درصد افزایش خواهد یافت؟

$$(f_c = 200 \text{ kg/cm}^2, f_y = 4000 \text{ kg/cm}^2) \quad (14-18)$$

- (۱) حدود  $15\%$       (۲) حدود  $30\%$       (۳) حدود  $21\%$       (۴) حدود  $12\%$

$$\rho_1 = 0.1 \Rightarrow A_{s_1} = \rho_1 \times b h = 0.1 \times 50 \times 50 = 250 \text{ cm}^2$$

ساعده سیروی سوری ستون در حالت لسارت حالص رح می‌نماید و در سورب اسغاده از سلسله مواری، مقیدار آن برابر است با:

$$N_{r_{max_1}} = 0.1 \left[ \alpha_1 \phi_c f_c (A_g - A_{s_1}) + \phi_s f_y A_{s_1} \right], \quad f_c = 200 \text{ kg/cm}^2 = 20 \text{ MPa}$$

$$\alpha_1 = 0.1 \Delta - 0.001 \Delta f'_c = 0.1 \Delta - 0.001 \Delta \times 20 = 0.1 \Delta$$

$$N_{r_{max_1}} = 0.1 \left[ 0.1 \Delta \times 0.165 \times 200 \times (50 \times 50 - 25) + 0.1 \Delta \times 4000 \times 25 \right] = 2790.68 \text{ kg} \approx 2791$$

$$b_2 = h_2 = 50 + 0.1 \times 50 = 55 \text{ cm}$$

$$\rho_2 = \rho_1 = 0.1 \Rightarrow A_{s_2} = \rho_2 b_2 h_2 = 0.1 \times (55 \times 55) = 302.5 \text{ cm}^2$$

$$N_{r_{max_2}} = 0.1 \left[ 0.1 \Delta \times 0.165 \times 200 \times (55 \times 55 - 302.5) + 0.1 \Delta \times 4000 \times 302.5 \right] = 337672 \text{ kg} \approx 3381$$

$$\frac{N_{r_{max_2}} - N_{r_{max_1}}}{N_{r_{max_1}}} \times 100 = \frac{3381 - 2791}{2791} \times 100 = 21\% \Rightarrow \text{گزینه (۳)}$$

روش دیگر: (۲۱،  $A_g = 1/16 b \times 1/16 b = 1/21 b^2$  درصد افزایش می‌یابد)  $\Rightarrow A_g = 1/16 b \times 1/16 b = 1/21 b^2$  درصد افزایش می‌یابد.

$$\rho = \frac{\frac{A_s}{A_g}}{\frac{1/21}{1/21}} \text{ ثابت}$$

$$\frac{N_{r_{max}}}{1/21} = 0.1 \left[ \alpha_1 \phi_c f_c (A_g - A_{s_1}) + \phi_s f_y A_{s_1} \right] \Rightarrow 21, N_{r_{max}}$$

حداکثر نیروی محوری مقاوم ستون بتونی کوتاه با مقطع مربع و به ضلع  $400 \text{ mm}$  که با عدد آرماتور طولی به قطر  $25 \text{ mm}$  مسلح شده، چند کیلونیوتن است؟ ( $f_c = 25 \text{ MPa}$ ،  $f_y = 400 \text{ MPa}$ ) (پایه ۴ - شهریور ۹۱)

۲۷۶۱ (۴)

۲۷۱۶ (۳)

۲۶۷۱ (۲)

۲۶۱۷ (۱)

هلن: نوع آرماتورهای عرضی در ستون مشخص نشده است، با توجه به آنکه ستون مربعی است، احتمال استفاده از تنگ‌های موازی بیشتر بوده (یعنی ضریب کاهش مقاومت محوری  $\alpha_1$  فرض می‌شود) و مطابق روابط (۴-۵) و (۶-۴) درسنامه، داریم:

$$N_{r_{max}} = \alpha_1 \varphi_c f_c (A_g - A_s) + \varphi_s f_y A_s$$

$$\alpha_1 = 0.85 - 0.0015 f_c \quad \text{رابطه (۲-۱۱) درسنامه}$$

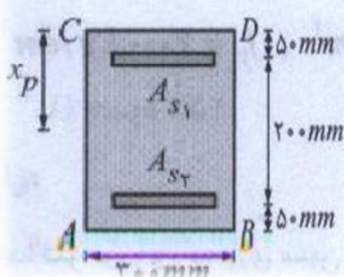
$$\alpha_1 = 0.85 - 0.0015 \times 25 = 0.81$$

$$N_{r_{max}} = 0.8 \times [0.81 \times 0.65 \times 25 \times (400 \times 400 - 8 \times \frac{\pi}{4} \times 25^2) + 0.85 \times 400 \times 8 \times \frac{\pi}{4} \times 25^2]$$

$$N_{r_{max}} = 2711590 N \approx 2712 kN$$

همانطور که مشاهده می‌شود، نزدیکترین گزینه به جواب موردنظر، گزینه (۳) می‌باشد. بنابراین گزینه (۳) صحیح است.

در مقطع ستون زیر، فاصله مرکز پلاستیک تا وجه CD ( $x_p$ )، کدام است؟ (۱-۲)



(پایه ۳ - شهریور ۹۱)

$$(f_y = 400 MPa, A_{s1} = 1000 mm^2, f_c = 25 MPa)$$

۱۲۵ (۱)

۱۳۴ (۲)

۱۴۳ (۳)

۱۵۳ (۴)

هلن: مطابق رابطه (۲-۲) درسنامه، داریم:

$$x_p = \frac{\alpha_1 \varphi_c f_c (A_g - A_s) \times x_c + \varphi_s f_y A_{s1} \times d_1 + \varphi_s f_y A_{s2} \times d_2}{\alpha_1 \varphi_c f_c (A_g - A_s) + \varphi_s f_y A_{s1} + \varphi_s f_y A_{s2}}$$

$$\alpha_1 = 0.85 - 0.0015 f_c \quad \text{رابطه (۱۱-۲) درسنامه}$$

$$\alpha_1 = 0.85 - 0.0015 \times 25 = 0.8125$$

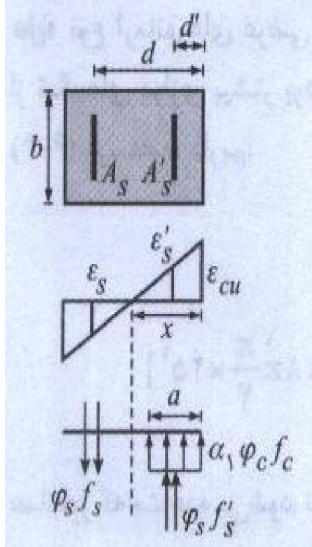
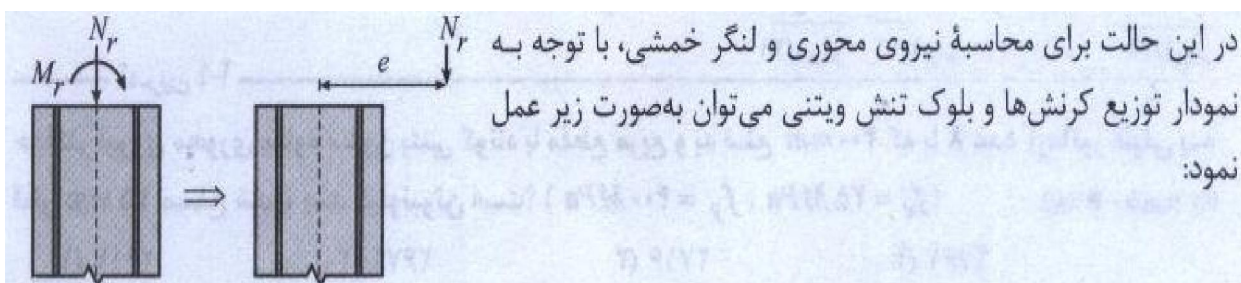
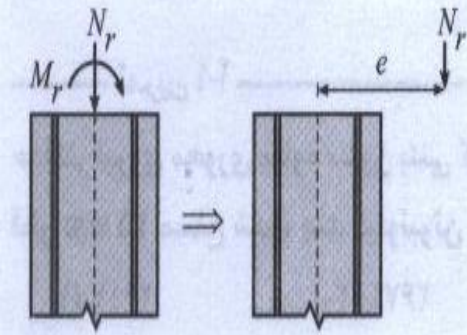
$$x_p = \frac{0.8125 \times 0.65 \times 25 \times (300 \times 300 - 2000 - 1000) \times \frac{300}{2} + 0.85 \times 400 \times 2000 \times 50 + 0.85 \times 400 \times 1000 \times 250}{0.8125 \times 0.65 \times 25 \times (300 \times 300 - 2000 - 1000) + 0.85 \times 400 \times 2000 + 0.85 \times 400 \times 1000}$$

$$x_p = 134/32 mm$$

بنابراین گزینه (۲) صحیح است.

### ۳-۴- بررسی رفتار ستون تحت بار محوری و لنگر خمشی در حالت حدی نهایی

معمولًاً در ستون‌ها به دلیل وجود بارهای افقی ناشی از افت و خزش تیرها، تغییر در بارهای زنده و یا عدم اعمال بار محوری به مرکز پلاستیک ستون، لنگر خمشی نیز بر مقطع اعمال می‌شود. در این گونه موارد اثر توأم نیروی محوری و لنگر خمشی را می‌توان با یک بار محوری که به اندازه  $e$  از مرکز پلاستیک مقطع فاصله دارد، به صورت زیر نشان داد؛ به طوری که  $M_r = N_r \times e$  باشد.

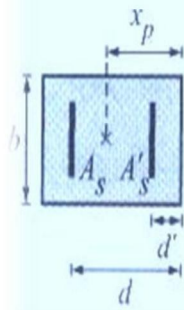


$$x = \frac{\varepsilon_{cu}}{\varepsilon_{cu} + \varepsilon_s} d$$

$$a = \beta_1 x$$

$$N_r = \alpha_1 \phi_c f_c ab + \phi_s f_s' A'_s - \phi_s f_s A_s \quad (A-1F)$$

در صورتی که مرکز پلاستیک مقطع ستون بهصورت مقابل در نظر گرفته شود، لنگر خمی قابل تحمل ستون ( $M_r$ ) برابر است با:



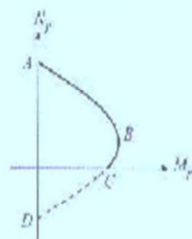
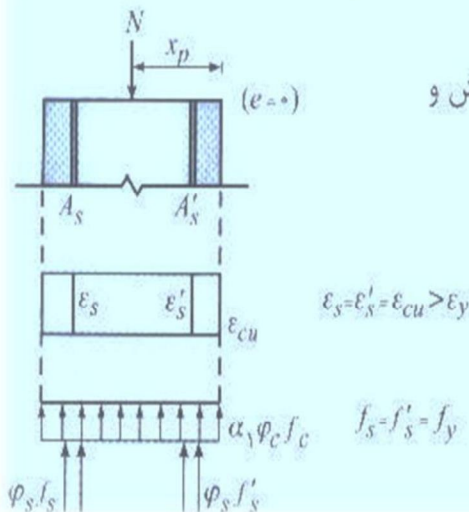
$$M_r = \alpha_1 \varphi_c f_c ab \left( x_p - \frac{a}{2} \right) + \varphi_s A'_s f'_s (x_p - d') \\ + \varphi_s A_s f_s (d - x_p) \quad (9-14)$$



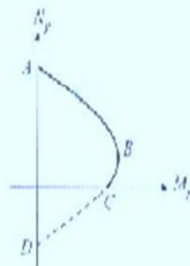
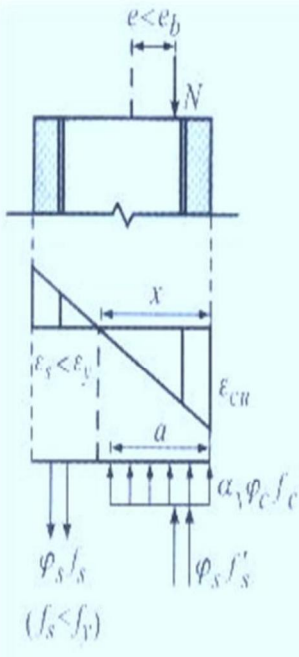
با توجه به نمودار فوق، نواحی زیر قابل تشخیص می‌باشند:

**نقطه A:** در این نقطه مقطع تحت بار فشاری خالص قرار دارد. در این صورت در لحظه نهایی، کرنش تمام نقاط مقطع برابر  $\varepsilon_{cu}$  بوده و تمام فولادهای مقطع در فشار به تسلیم رسیده‌اند (در فولادهای معمولی  $\varepsilon_y < \varepsilon_{cu}$  می‌باشد). در این حالت محور خنثی خارج از مقطع و در بینهایت قرار داشته و با توجه به عدم وجود لنگر خمی، مقدار خروج از مرکزیت برابر صفر می‌باشد.

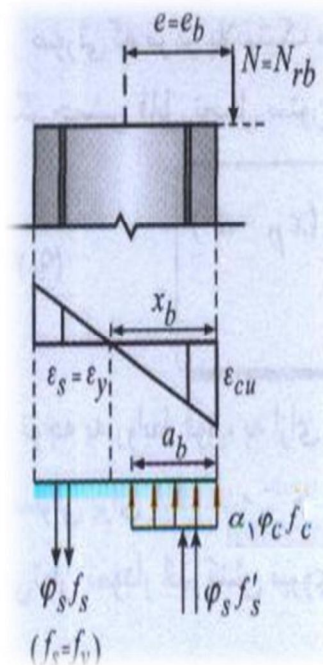
با توجه به توضیحات داده شده، در این حالت، نمودارهای توزیع تنش و کرنش مقطع بهصورت زیر نشان داده می‌شوند:



**ناحیه AB:** در این قسمت، محور خنثی از بی‌نهایت (در نقطه A) به درون مقطع حرکت کرده و با افزایش لنگر خمی، مقدار خروج از مرکزیت افزایش می‌یابد. در این ناحیه کرنش میلگردهای کششی کمتر از کرنش حد تسلیم است ( $\epsilon_c < \epsilon$ )؛ بنابراین در لحظه نهایی، شکست مقطع به صورت فشاری (ترد) می‌باشد. این ناحیه، ناحیه کنترل شده با فشار نامیده می‌شود.

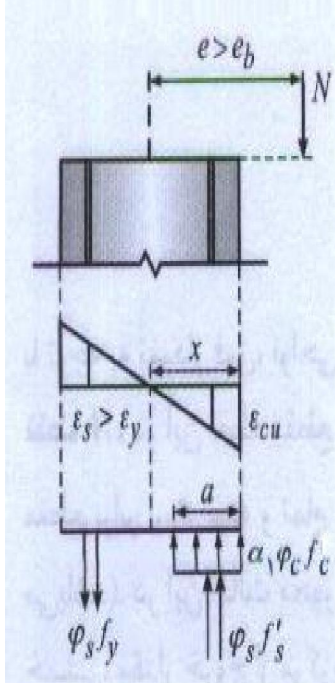


**نقطه B:** در این لحظه مقطع در وضعیت بالانس (متوازن) قرار دارد؛  
 یعنی کرنش دورترین تار فشاری بتن برابر  $\varepsilon_{cu} = 0.0035$  و کرنش  
 میلگردهای کششی برابر کرنش حد تسلیم ( $\varepsilon_y = \varepsilon_s$ ) می‌باشد. نیروی  
 محوری وارد بر مقطع در این حالت برابر  $N_{rb}$  و لنگر خمی متناظر  
 برابر  $M_{rb}$  می‌باشد. مقدار خروج از مرکزیت در این لحظه،

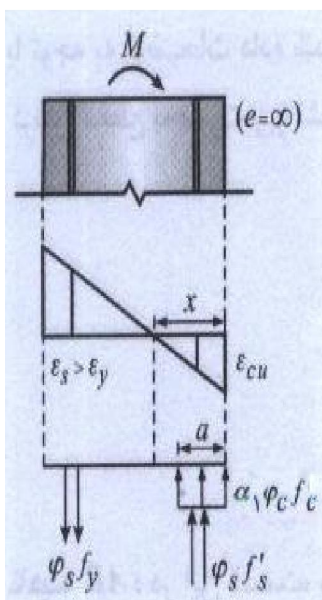


$$\frac{M_{rb}}{N_{rb}}$$

**ناحیه BC:** در این ناحیه محور خنثی بیشتر درون مقطع نفوذ گرده و مقدار خروج از مرکزیت افزایش می‌یابد. در این ناحیه کرنش میلگردهای کششی از کرنش حد تسلیم بیشتر بوده ( $\epsilon_y > \epsilon_{cu}$ )، بنابراین شکست مقطع در لحظه نهایی، به صورت شکل پذیر (نرم) می‌باشد. این ناحیه، ناحیه کنترل شده با کشش نامیده می‌شود.



**نقطه C :** در این نقطه بار محوری وارد بر مقطع صفر بوده و مقطع تحت خمش خالص قرار دارد. لذا مقدار خروج از مرکزیت در این حالت برابر بی نهایت می‌باشد. رفتار مقطع در این نقطه مشابه تیر بوده و شکست مقطع با جاری شدن میلگردهای کششی آغاز شده و با خرد شدن بتن در وجه فشاری تکمیل می‌گردد. محور خنثی در این حالت از مرکز پلاستیک مقطع می‌گذرد.



**ناحیه CD:** در این ناحیه نیروی وارد بر مقطع کششی بوده و بخشی از مقطع ترک خورده است. در این مرحله نیز کرنش میلگردها از کرنش حد تسلیم بیشتر می‌باشد. تذکر: می‌توان این قسمت از منحنی را با تقریب خوبی به صورت خطی در نظر گرفت.

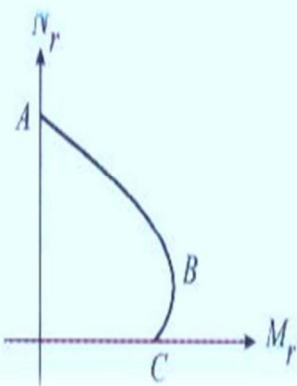
**نقطه D :** در این نقطه ماکریم نیروی کششی قابل تحمل به مقطع وارد شده است. در این لحظه فرض می‌شود که تمام بتن مقطع ترک خورده است و نیروی کششی توسط میلگردهای مقطع تحمل می‌شود.

$$T_{r_e} = \phi_s f_y (A_s + A'_s) \quad (10-14)$$

تذکر: با توجه به این که ستون‌ها اعضای فشاری هستند، معمولاً ظرفیت کششی آنها اهمیتی ندارد؛ لذا از ناحیه  $CD$  در نمودار اندرکنش ستون صرفنظر می‌شود. لازم به ذکر است که نیروی کششی ستون به صورت عملی کاربردی نداشته و مقدار آن تنها به صورت تئوری در اینجا آورده شده است.

چنانچه **x**. فاصله محور خنثی مقطع تا دورترین تار فشاری و **e** خروج از محوریت بار فشاری باشد، در مورد دیاگرام اندرکنش نیرو - لنگر خمشی، مطابق شکل، گزینه صحیح را انتخاب کنید.

(پایه ۳۳ - ۸)



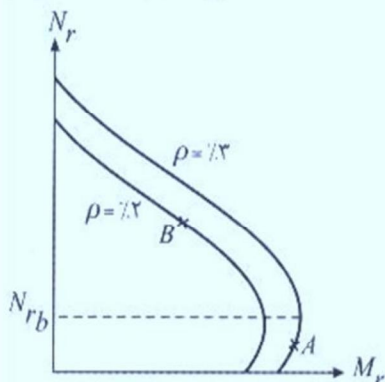
۱) از نقطه  $A$  به  $B$ ،  $x$  افزایش یافته و  $e$  نیز افزایش می‌یابد.

۲) از نقطه  $A$  به  $C$  به  $x$  کاهش یافته و  $e$  افزایش می‌یابد.

۳) از نقطه  $A$  به  $C$  به  $x$  کاهش یافته و  $e$  نیز کاهش می‌یابد.

۴) از نقطه  $A$  به  $C$  به  $x$  افزایش یافته و  $e$  کاهش می‌یابد.

موقعیت ستون‌های  $A$  و  $B$  در دیاگرام‌های اندرکنش آنها با نقاط  $A$  و  $B$  مشخص شده است. کدام یک از جملات زیر صحیح است؟



(پایه ۱ - ۸)

۱) ستون  $A$  شکل پذیرتر از  $B$  است، چون درصد فولاد آن بیشتر است.

۲) ستون  $A$  شکل پذیرتر از  $B$  است، چون بار محوری نظیر آن کمتر از  $N_{rb}$  است.

۳) ستون  $A$  شکل پذیرتر از  $B$  است، چون لنگر خمشی مقاوم آن بیشتر از  $B$  است.

۴) هر دو ستون به لحاظ شکل پذیری یکسان هستند، چون اساساً دیاگرام تداخلی، مربوط به مقاومت ستون هاست.

هله با توجه به نمودار مشاهده می‌شود که ستون A در ناحیه کنترل کشش و ستون B در ناحیه کنترل فشار قرار دارد. بنابراین در ستون A هنگام شکست،  $\varepsilon_s > \varepsilon_y$  بوده، در حالی که در ستون B،  $\varepsilon_y < \varepsilon_s$  می‌باشد؛ لذا شکل‌پذیری ستون A بیشتر از ستون B است.

لازم به ذکر است، کمتر بودن بار محوری از  $N_{rb}$  به ناحیه کنترل کشش نمودار اشاره دارد.

بنابراین گزینه (۲) صحیح است.

در قاب یک دهانه و یک طبقه با شکل‌پذیری زیاد در صورتی که لنگر خمشی مقاوم تیر در بر ستون (ثبت و منفی) برابر  $135\text{ kN.m}$  و دیاگرام اندرکنش نیروی محوری - لنگر خمشی برای ستون مطابق شکل و نیروی محوری مؤثر به ستون  $P_D = 280\text{ kN}$  و  $P_L = 60\text{ kN}$  و  $P_E = \pm 20\text{ kN}$  و ترکیب بارگذاری موردنظر  $D + 1/2L + 1/2E$  باشد، نسبت  $\frac{M_c}{M_g}$  در اتصال تیر به ستون در نامساعدترین حالت بار محوری در

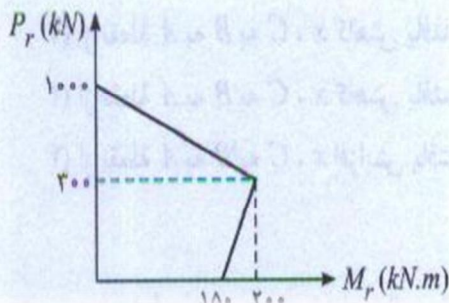
ترکیب بارگذاری مذکور به کدام یک از اعداد زیر نزدیک تر است؟

(۱) ۱/۳۰

(۲) ۱/۲۰

(۳) ۱/۴۰

(۴) ۱/۱۰

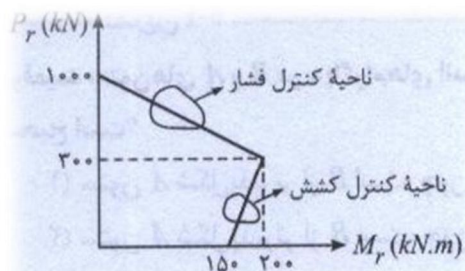
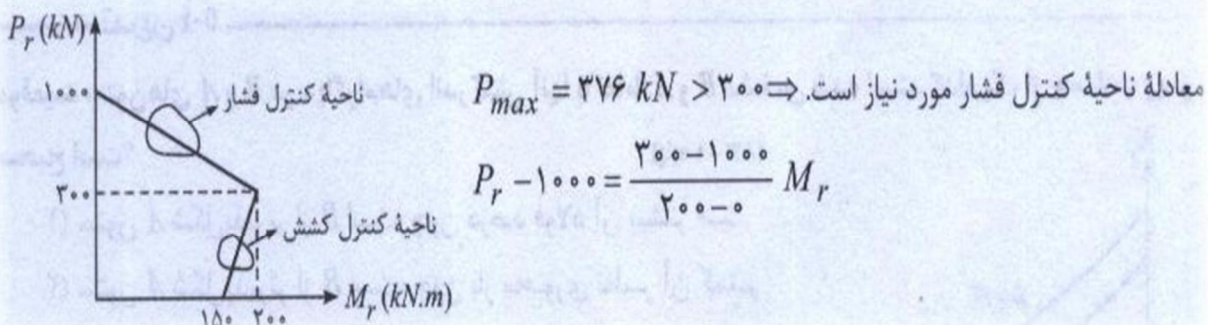


هل؛ با توجه به ترکیب بار داده شده، نیروی محوری ستون برابر است با:

$$P = D + 1/2 L + 1/2 E = 280 + 1/2 \times 60 \pm 1/2 \times 20$$

$$P_{max} = 376 \text{ kN}, P_{min} = 328 \text{ kN}$$

با توجه به نمودار اندرکش نیروی محوری - لنگر خمشی، مقدار لنگر متناظر نیروهای فوق به صورت زیر محاسبه می شود:



$$P_r = -3/5 M_r + 1000 \Rightarrow 376 = -3/5 M_r + 1000 \Rightarrow M_{r_1} = 178/29 \text{ kN.m}$$

ستون در ناحیه کنترل فشار قرار دارد.

$$328 = -3/5 M_r + 1000 \Rightarrow M_{r_2} = 192 \text{ kN.m}$$

با توجه به اینکه در سؤال، نسبت  $\frac{M_c}{M_g}$  در اتصال تیر به ستون در نامساعدترین حالت بار محوری مورد نظر

است، لذا با در نظر گرفتن  $P_{max} = 376 \text{ kN}$  و  $M_{r_1} = 178/29 \text{ kN.m}$  داریم:

$$\frac{M_c}{M_g} = \frac{178/29}{135} = 1/32$$

بنابراین گزینه (1) صحیح است.

#### ۴-۴- خروج از مرکزیت حداقل

طبق توصیه مبحث نهم مقررات ملی ویرایش ۱۳۸۸، مقدار زیر، بر حسب میلی متر، به عنوان خروج از مرکزیت حداقل در ستون‌ها در نظر گرفته می‌شود:

$$e_{min} = 15 + 0.103 h \quad (۱۴-۱)$$

$h$ : ضخامت کل عضو، میلی متر

این برونو محوری حداقل باید برای خمث حول هر دو محور اصلی مقطع، به طور جداگانه محاسبه شود. بنابراین در صورتی که مقدار خروج از مرکزیت ناشی از نیروی محوری و لنگر خمثی ( $e = \frac{M}{N}$ ) کمتر از مقدار فوق باشد، مقدار  $e_{min}$  به عنوان خروج از مرکزیت ستون در نظر گرفته می‌شود.

#### ۴-۵- محدودیت‌های میلگردها در ستون

میزان حداقل میلگردهای طولی ستون، برابر  $10\%$  سطح مقطع کل و حداکثر آن برابر  $6\%$  سطح مقطع کل می‌باشد. همچنین در محل وصله‌های پوششی میلگردها نیز، مقدار حداکثر میلگرد به  $6$  درصد سطح مقطع کل محدود می‌شود.

نکته: در صورتی که از فولاد S400 برای میلگردها استفاده شود، حداکثر مقدار میلگردهای طولی در محل وصله‌ها به  $10.6\%$  خواهد بود.

لازم به ذکر است حداقل نسبت حجمی میلگرد دورپیچ به حجم کل هسته ( $\rho_{s_{min}}$ )، برابر است با:

$$\rho_{s_{min}} = 0.145 \left( \frac{A_g}{A_c} - 1 \right) \frac{f_c}{f_y} \quad (۱۴-۲)$$

$A_g$ : مساحت کل مقطع

$A_c$ : مساحت هسته عضو فشاری با میلگرد دورپیچ که بر اساس قطر بیرونی دورپیچ محاسبه می‌گردد.  
نکته: توجه شود که  $f_y$  در رابطه فوق، مقاومت مشخصه دورپیچ بوده و حداکثر به  $400 MPa$  محدود می‌شود.

حداقل تعداد میلگردهای طولی در مقاطع ستون‌ها به شرح زیر می‌باشد:

۱) سه عدد برای میلگردهای داخل تنگ‌های مثلثی

۲) چهار عدد برای میلگردهای داخل تنگ‌های مدور یا مستطیلی

۳) شش عدد برای میلگردهای داخل مارپیچ

هنگام استفاده از دورپیج در ستون، محدودیت‌هایی در خصوص طراحی آنها از جمله قطر و گام دورپیج وجود دارد که از جمله مهم‌ترین این محدودیت‌ها، می‌توان به موارد زیر اشاره کرد:

۱) دورپیج باید از میلگرد پیوسته ساخته شود و روش ساخت آنها طوری باشد که جابه‌جایی و نصب آنها بدون اعوجاج و تغییر ابعاد میسر باشد.

۲) قطر میلگردهای مصرفی در دورپیج نباید از ۶ میلی‌متر کمتر باشد.

۳) گام دورپیج نباید از  $\frac{1}{6}$  قطر هسته بتنی داخل دورپیج تجاوز کند.

۴) در هر گام دورپیج، فاصله آزاد بین میلگردها نباید کمتر از ۲۵ میلی‌متر و بیشتر از ۷۵ میلی‌متر باشد.

۵) در هر طبقه، دورپیج باید از روی پی یا دال، تا تراز پایین‌ترین میلگردهای طبقه فوقانی ادامه یابد.

۶) دورپیج باید با فاصله نگهدارهای مناسب در جای خود تنظیم و تثبیت شود.

۷) در صورتی که قطر میلگرد دورپیج کمتر از ۱۶ میلی‌متر باشد، تعداد فاصله‌نگهدارها نباید کمتر از مقادیر زیر در نظر گرفته شود:

الف) دو عدد برای دورپیج با قطر کمتر از ۵۰۰ میلی‌متر

ب) سه عدد برای دورپیج با قطر ۵۰۰ تا ۷۵۰ میلی‌متر

پ) چهار عدد برای دورپیج با قطر بیشتر از ۷۵۰ میلی‌متر

۸) در صورتی که قطر میلگرد دورپیج بیشتر از ۱۶ میلی‌متر باشد، تعداد فاصله‌نگهدارها نباید کمتر از مقادیر زیر باشد:

الف) سه عدد برای دورپیج با قطر مساوی یا کمتر از ۶۰۰ میلی‌متر

ب) چهار عدد برای دورپیج با قطر بیشتر از ۶۰۰ میلی‌متر

۹) مهار کردن دورپیچ با  $1/5$  دور پیچیدن اضافی میلگرد در انتهای قطعه تأمین می‌شود.  
همچنین در فولادگذاری اعضای فشاری محدودیت‌هایی برای فاصله میلگردها در نظر گرفته شده است که  
مهم‌ترین آنها عبارتند از:

۱) فاصله آزاد بین هر دو میلگرد موازی واقع در یک سفره باید از مقادیر زیر کمتر باشد:

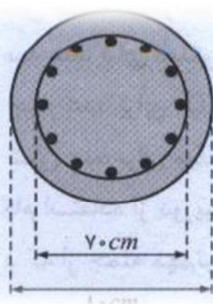
الف) قطر میلگرد بزرگتر

ب)  $25$  میلی‌متر

پ)  $1/33$  برابر قطر اسمی بزرگترین سنگدانه بتن

۲) در اعضای تحت فشار، فاصله محور تا محور میلگردهای طولی از یکدیگر، باید بیشتر از  $200$  میلی‌متر باشد.

۳) در اعضای فشاری با خاموت‌های بسته یا دورپیچ، فاصله آزاد بین هر دو میلگرد طولی، باید از  $1/5$  برابر قطر بزرگترین میلگرد و  $40$  میلی‌متر، کمتر باشد.



برای ستون با مقطع دایره‌ای شکل زیر، حداقل مقدار  $\frac{A_{sp}}{s}$  کدام‌یک از مقادیر زیر است؟

(پایه ۱۴ - ۸۷)  $S =$  فاصله مارپیچ در هر گام،  $A_{sp} =$  سطح مقطع میلگرد مارپیچ

$$f_c' = 250 \text{ kg/cm}^2, f_y = 3000 \text{ kg/cm}^2$$

$$0/2 \quad 0/1(1)$$

$$0/05(4) \quad 0/15(3)$$

هل ۸ طبق رابطه (۲۴-۴)، حداقل نسبت حجمی میلگرد دورپیچ به حجم کل هسته برابر است با:

$$\rho_s = 0.45 \left( \frac{A_g}{A_c} - 1 \right) \frac{f_c}{f_y} = 0.45 \left( \frac{\frac{\pi \times 80^2}{4} - 1}{\frac{\pi \times 70^2}{4}} \right) \times \frac{250}{3000} = 0.11$$

از طرفی با توجه به تعریف  $\rho_s$  داریم:

$$\rho_s = \frac{\text{حجم فولاد دورپیچ}}{\text{حجم هسته بتن}} = \frac{\pi \times D_c \times A_{sp}}{\frac{\pi}{4} \times D_c^2 \times S} = \frac{4 A_{sp}}{D_c \times S}$$

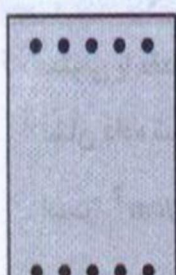
$D_c$ : قطر هسته بتن تا بیرون دورپیچ

$$\frac{A_{sp}}{S} = \rho_s \times \frac{D_c}{4} = 0.11 \times \frac{70}{4} = 0.1925 \approx 0.2$$

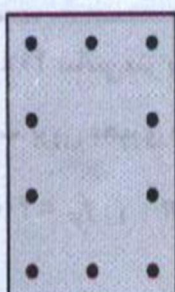
بنابراین گزینه (۲) صحیح است.

- دو ستون نشان داده شده در شکل زیر، دارای مقطع یکسان و نسبت میلگرد یکسان هستند. در یک ستون میلگردها در دو انتهای مرکز و در دیگری در اطراف توزیع شده‌اند. اگر ستون (a) قادر به تحمل

(پایه ۲ - ۸۱) باشد، کدام یک از پاسخ‌های زیر در مورد ستون (b) نمی‌تواند صحیح باشد؟



(a)



(b)

(۱) ستون (b) می‌تواند  $N = 100t$  و  $M = 20t.m$  را تحمل کند.

(۲) ستون (b) می‌تواند  $N = 95t$  و  $M = 20t.m$  را تحمل کند.

(۳) ستون (b) می‌تواند  $N = 100t$  و  $M = 18t.m$  را تحمل کند.

(۴) ستون (b) می‌تواند  $N = 105t$  و  $M = 22t.m$  را تحمل کند.

همان‌طور که در درسنامه شرح داده شد، حداکثر نیروی محوری قابل تحمل ستون در حالت بار محوری خالص را داده که مقدار آن با استفاده از رابطه زیر محاسبه می‌گردد:

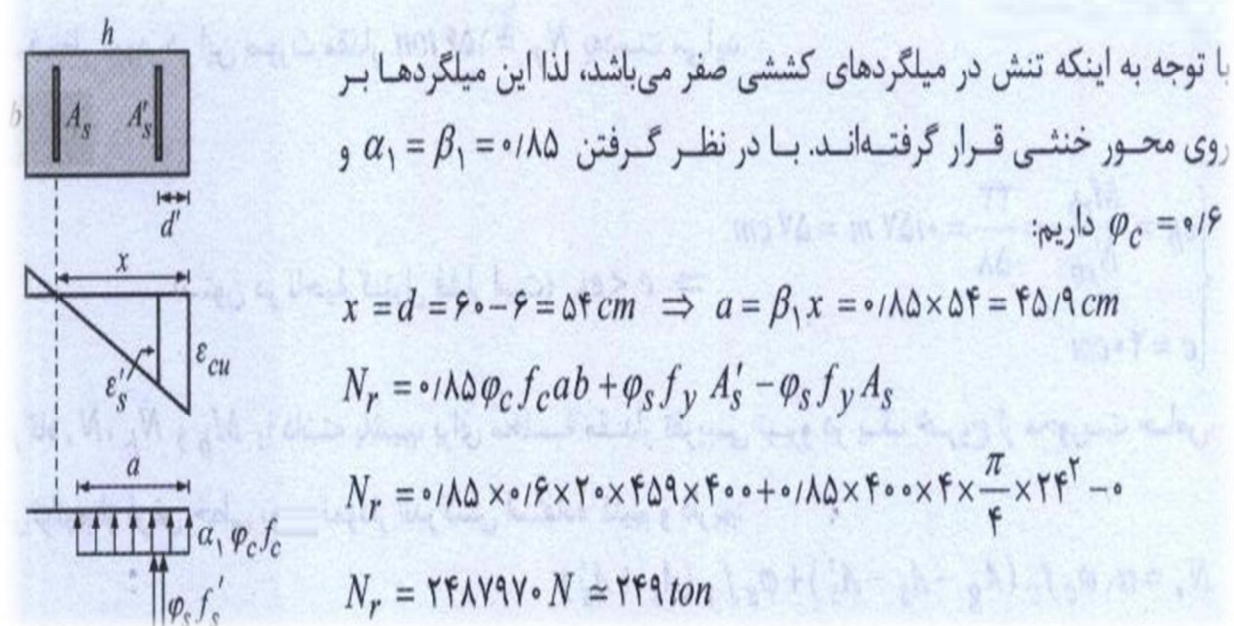
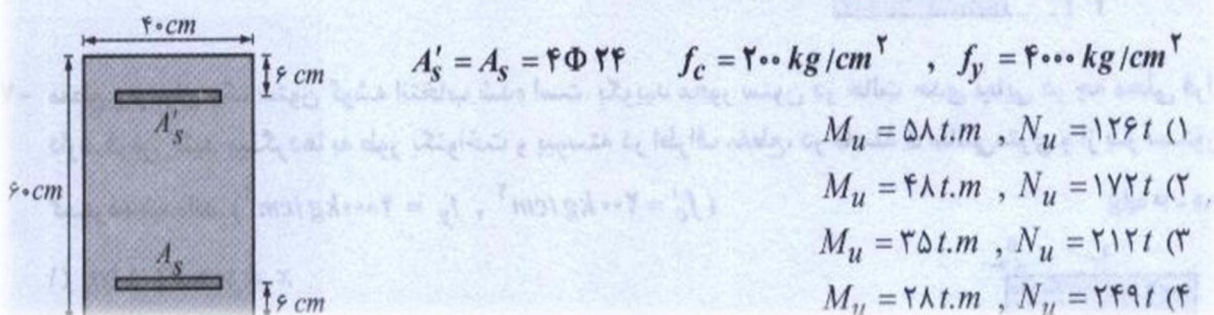
$$N_r = \alpha_1 \phi_c f_c (A_g - A_s) + \phi_s A_s f_y$$

با توجه به یکسان بودن مقطع ستون‌ها و مشخصات مصالح مصرفی و نسبت میلگرد‌ها، نیروی محوری خالص ستون (b) با ستون (a) برابر است، بنابراین حداکثر نیروی محوری ستون (b) با ستون (a) برابر می‌باشد.

از طرفی هر چه میلگرد‌ها در فاصله دورتری نسبت به مرکز مقطع قرار گرفته باشند، با افزایش بازو، مقطع قادر به تحمل لنگر بیشتری می‌باشد. با توجه به یکسان بودن درصد میلگرد‌ها، لنگر قابل تحمل در ستون (a) با توجه به آرایش میلگرد‌ها بیشتر از ستون (b) می‌باشد. بنابراین با توجه به این‌که مقادیر نیروی محوری و لنگر خمی داده شده در گزینه (۴) نسبت به مقادیر متناظر در ستون (a) بیشتر است، این گزینه نمی‌تواند صحیح باشد.

تذکر: مقاومت ستون (b) تحت اثر خمی دومحوره، به دلیل توزیع میلگرد‌ها در هر چهار وجه مقطع، نسبت به ستون (a) بیشتر است.

- در ستونی با مقطع زیر، بارگذاری در حالت حدی نهایی چنان است که تنش در میلگرد کششی صفر می‌باشد.  
بگویید کدام‌یک از بارگاهی زیر به این حالت بارگذاری نزدیک‌تر است؟  
(پایه ۳ - ۸۶)



با توجه به متقارن بودن مقطع، محل مرکز سطح و مرکز پلاستیک بر هم منطبق بوده، بنابراین لنگر خمشی مقطع برابر است با:

$$M_r = 0.85 \varphi_c f_c ab \left( \frac{h}{2} - \frac{a}{2} \right) + \varphi_s f_y A'_s \left( \frac{h}{2} - d' \right) - \varphi_s f_s A_s \left( d - \frac{h}{2} \right)$$

$$M_r = 0.85 \times 0.6 \times 20 \times 459 \times 400 \times \left( \frac{600}{2} - \frac{459}{2} \right) + 0.85 \times 400 \times 4 \times \frac{\pi}{4} \times 24^2 \times \left( \frac{600}{2} - 60 \right) =$$

$$M_r = 279686641/3 N.mm \Rightarrow M_r \approx 281.m$$

تذکر: با توجه به نمودار کرنش‌ها  $\epsilon_g > \epsilon_y$  بوده، بنابراین تنفس میلگردی‌های فشاری در حالت نهایی برابر  $f_y$  می‌باشد.

با توجه به این که این تست مربوط به سال ۸۲ می‌باشد، ضریب  $\varphi_c$  برابر  $0.6$  در نظر گرفته شده است.

- ستونی با مقطع مربع به ضلع  $60$  سانتی‌متر با  $3\%$  فولاد تقویت شده است. این ستون در حالت حدی نهایی می‌تواند بار  $250$  تن را در برونو محوری  $e_x = 24 cm$  تحمل کند. بگویید این ستون قادر به تحمل چه باری در برونو محوری‌های همزمان  $e_y = 24 cm$  است؟ (پایه ۱۴-۱)

$$(1) 125 \text{ تن} \quad (2) 142 \text{ تن} \quad (3) 157 \text{ تن} \quad (4) 178 \text{ تن}$$

نیروی محوری قابل تحمل ستون تحت خمش دوممحوره مطابق رابطه (۱۱-۳) درسنامه، برابر است با:

$$\frac{1}{N_r} = \frac{1}{N_{r_x}} + \frac{1}{N_{r_y}} - \frac{1}{N_r}$$

از طرفی نیروی محوری ستون تحت فشار خالص ( $N_r$ ) برابر است با:

$$N_{r_x} = \alpha_1 \varphi_c f'_c (A_g - A_s) + \varphi_s A_s f_y$$

$$\alpha_1 = 0.85 - 0.0015 f'_c = 0.85 - 0.0015 \times 20 = 0.82$$

$$A_s = 0.02 \times A_g = 0.02 \times 600 \times 600 = 7200 mm^2$$

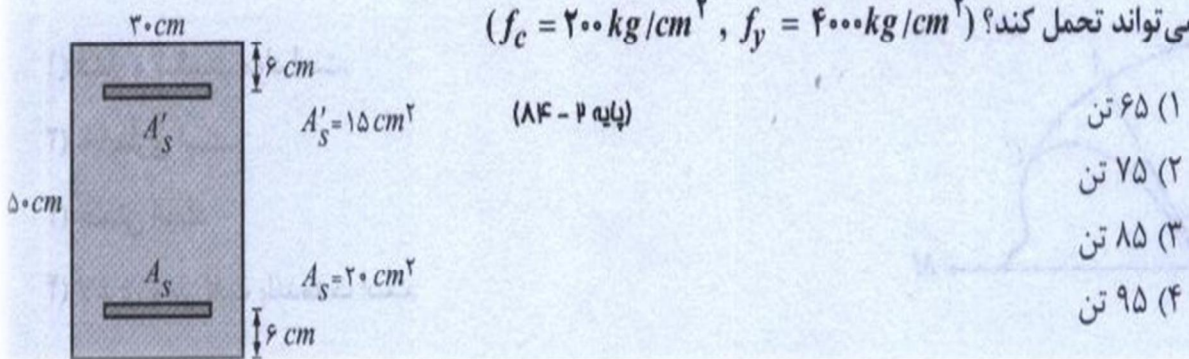
$$N_{r_x} = 0.82 \times 0.65 \times 20 \times (600 - 7200) + 0.85 \times 7200 \times 400 = 6208848 N = 620.8848 ton$$

با توجه به این که مقطع ستون مربع شکل می‌باشد، در خمش تکمحوره،  $N_{r_x} = N_{r_y}$  بوده، بنابراین:

$$\frac{1}{N_r} = \frac{1}{280} + \frac{1}{280} - \frac{1}{620.8848} \Rightarrow N_r = 156.15 ton = 156 ton$$

- ستونی با مقطع شکل زیر در حالت حدی نهایی بار و ممان  $M_{rb} = 33t.m$  و  $N_{rb} = 58t$  را تحمل می‌کند و شرایط تعادل کرنش‌ها در مقطع برقرار است. بگویید این ستون حدوداً چه باری را در بروز محوری ۴۰ سانتی‌متر

$$(f_c = 200 \text{ kg/cm}^2, f_y = 400 \text{ kg/cm}^2)$$



$$\begin{cases} e_b = \frac{M_{rb}}{N_{rb}} = \frac{33}{58} = 0.57 \text{ m} = 57 \text{ cm} \\ e = 6 \text{ cm} \end{cases} \Rightarrow e < e_b \quad (\text{ستون در ناحیه کنترل فشار است})$$

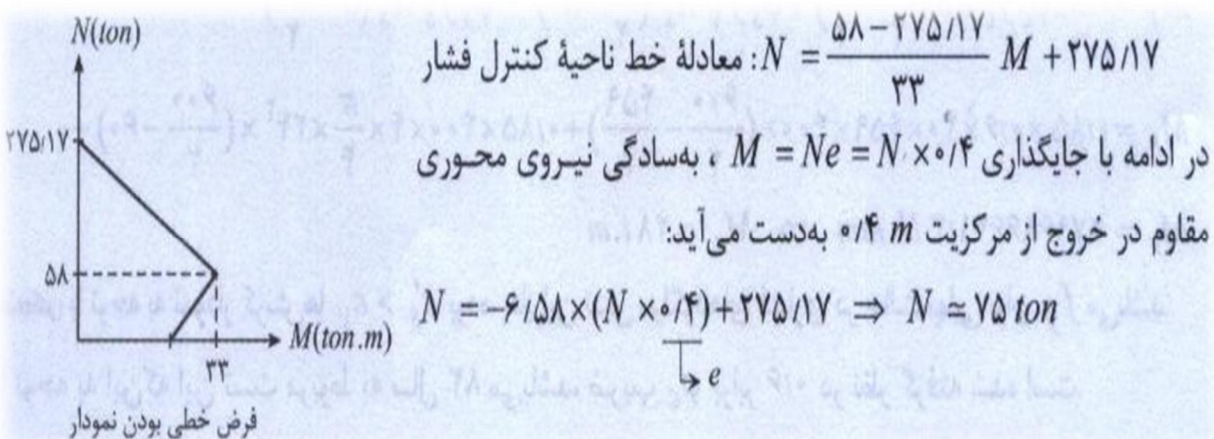
هرگاه  $M_b$  و  $N_b$  را داشته باشیم، برای محاسبه مقدار تقریبی نیرو در یک خروج از محوریت خاص، می‌توانیم از فرض خطی بودن نمودار اندرکنش استفاده کنیم و داریم:

$$N_c = \alpha_1 \varphi_c f_c (A_g - A_s - A'_s) + \varphi_s f_y (A_s + A'_s)$$

$$\alpha_1 = 0.85 - 0.0015 f_c = 0.85 - 0.0015 \times 20 = 0.82 \text{ MPa}$$

$$N_c = 0.82 \times 0.65 \times 20 \times (300 \times 500 - 2000 - 1500) + 0.85 \times 400 (2000 + 1500)$$

$$N_c = 2781690 \text{ N} \approx 278169 \text{ ton}$$



نکته: برای مشاهده منابع به فایل های پاورپوینت همین درس مراجعه نمایید.